

**6557**

KARADENİZ TEKNİK ÜNİVERSİTESİ \* FEN BİLİMLERİ ENSTİTÜSÜ

MAKİNA MÜHENDİSLİĞİ ANABİLİM DALI

MAKİNA MÜHENDİSLİĞİ PROGRAMI

ÇINKO-ALÜMİNYUM ESASLI YATAK ALAŞIMLARININ İÇYAPI VE  
TRİBOLOJİK ÖZELLİKLERİNİN İNCELENMESİ

Mak.Müh.Hamdullah ÇUVALCI

Karadeniz Teknik Üniversitesi Fen Bilimleri Enstitüsünce  
"Makine Yüksek Mühendisi"

Ünvanının Verilmesi İçin Kabul Edilen Tezdir

Tezin Enstitüye Verildiği Tarih : 20.6.1989

Tezin Sözlü Savunma Tarihi : 10.7.1989

Tez Danışmanı : Doç.Dr.Temel SAVAŞCAN

Jüri Üyesi : Prof.Dr.Metin Y.GÜRLEYİK

Jüri Üyesi : Prof.Dr.Fazlı ARSLAN

Enstitü Müdür V: Doç.Dr. İlhan SUNGUR

Temmuz - 1989

TRABZON

T. C.  
Yüksekokretim Kurulu  
Dokümantasyon Merkezi

## ÖNSÖZ

Bugünün metal piyasasındaki kuvvetli rekabet, üretici firmaları, geleneksel malzemelere göre daha üstün ve ekenomik malzemeler geliştirmeye yöneltmiştir. Araştırmacılar, özellikle savunma, havacılık, uzay, elektronik ve tıp alanlarındaki hızlı gelişmelere paralel olarak ortaya çıkan malzeme ihtiyacını karşılamak amacıyla yoğun çalışmalar yürütmektedirler.

İlk defa ikinci Dünya Savaşına rastlayan yıllarda, geleneksel yatak malzemelerinin yerine kullanmak amacıyla üretilen çinko-alüminyum esaslı合金aların geliştirilmesi ile ilgili çalışmalar günümüzde de büyük bir ilgi ile sürdürülmektedir. Yapılan araştırmalar, söz konusu合金aların, pek çok bakımdan, geleneksel yatak合金alarından daha üstün olduğunu göstermiştir. Bu üstünlüklerin başında, çinko-alüminyum esaslı合金aların, aşınma direncinin ve mukavemet/yoğunluk oranının yüksek olması,合金 elementlerinin kolaylıkla ve ucuza temin edilebilmesi, ideal döküm ve ıslıl işlem özelliklerine sahip olması gelmektedir.

Son yıllarda yapılan araştırmalar, düşük oranlardaki bakır yada silisyum katkılarının çinko-alüminyum合金alarının hem mekanik hemde tribolojik özelliklerini büyük ölçüde iyileştirdiğini göstermiştir. Ancak, her iki elementi de (Cu ve Si) içeren dörtlü Zn-Al-Cu-Si合金alarının özelliklerini bu zamana kadar incelenmemiştir. Bu nedenle, bu çalışmada çinko-alüminyum esaslı bir dizi ikili Zn-Al, üçlü Zn-Al-Cu ve Zn-Al-Si合金aları ile birlikte dörtlü Zn-Al-Cu-Si合金aları da üretilerek, bunların iç yapıları, mekanik özellikleri ve aşınma davranışları karşılaştırılmış olarak incelenmiştir.

Bu incelemeler, bakır yada silisyum katkılarının söz konusu合金aların hem mekanik özelliklerini hemde aşınma davranışlarını büyük ölçüde iyileştirdiğini göstererek, önceki araştırmacıların buldukları sonuçları doğrulamıştır. Ancak, bakır katkılarının mukavemeti arttırmada silisyumdan, silisyum katkısının ise aşınma dayanımını arttırmada bakırdan daha etkin olduğunu

rı görülmüştür. Nitekim, hem bakır hemde silisyum içeren dörtlü alaşım ( $ZnAl40Cu2Si2$ ) yalnız bakır içeren üçlü  $ZnAl40Cu2$  alaşımından daha üstün, ancak yalnız silisyum içeren üçlü  $ZnAl40Si2$  alaşımından daha düşük aşınma dayanımı göstermiştir.

Bu tez çalışmasının gerçekleştirilmesinde kendisinden her türlü yardımı ve fedakârlığı gördüğüm sayın Hocam Doç.Dr.Temel SAVAŞCAN'a teşekkürü bir borç bilirim. Ayrıca, aşınma deney düzeneğine katkılarından dolayı Yrd.Doç.Dr. Aydın BIYIKLIOĞLU'na, değerli yardımları ile Prof.Dr.Fazlı ARSLAN'a, kimyasal analizleri gerçekleştiren Yrd.Doç.Dr.Oktay TORUL'a ve Arş.Gör.H.Hüseyin AYAR'a çok teşekkür ederim. Çalışmayı 86.112.003.07 kod numaralı proje ile mali yönden destekleyen K.T.Ü. Rektörlüğü ve Araştırma Fonu yetkililerine şükranlarımı sunarım. Ayrıca bu çalışma için gerekli malzeme ihtiyacını karşılayan Çinkur ve Sarkuy-san Firması ile Etibank Seydişehir Alüminyum İşletmesi Müdürlüğüne müteşekkirim. Aynı zamanda Makina Bölümü Malzeme Laboratuvarı ve Talaşlı İmalat Atölyesi Teknisyenleri ile Fotoğrafhane görevlilerine teşekkür ederim.

Haziran 1989

Hamdullah ÇUVALCI

## İÇİNDEKİLER

ÖNSÖZ	ii-iii
İçindekiler	iv-v
Şekil Listesi	vi-vii
Tablo Listesi	viii
Özet	ix-x
Summary	xi-xii
<b>1. ÇINKO-ALÜMİNYUM ALAŞIMLARI İLE İLGİLİ LİTERATÜR ARAŞTIRMASI</b>	<b>1</b>
1.1. Giriş	1
1.2. Çinko-Alüminyum Alaşımlarının Tarihsel Gelişimi	1
1.3. Çinko-Alüminyum Esaslı Alaşımların Faz Diyagramları	2
1.3.1. İkili Zn-Al Faz Diyagramı	2
1.3.2. Üçlü Zn-Al-Cu Faz Diyagramı	4
1.3.3. Üçlü Zn-Al-Si Faz Diyagramı	5
1.4. Çinko-Alüminyum Alaşımlarının Özellikleri	6
1.4.1. Yapısal Özellikler	6
1.4.2. Fiziksel Özellikler	8
1.4.3. Mekanik Özellikler	10
1.4.4. Tribolojik Özellikler	18
1.5. Çinko-Alüminyum Alaşımlarının Uygulama Alanları	24
1.6. Literatür Özeti ve Çalışmanın Amacı	26
<b>2. DENYESEL ÇALIŞMA</b>	
2.1. Alaşımların Üretimi, Kimyasal Bileşimlerinin Tayini ve Isıl İşlemler	28
2.2. İçyapı İncelemeleri	28
2.3. Mekanik Deneyler	29
2.3.1. Çekme Deneyi	29
2.3.2. Sertlik Deneyi	29
2.4. Yoğunluk Ölçümleri	29
2.5. Aşınma Deney Düzeneğinin Konstrüksiyonu ve Özellikleri	29
2.6. Aşınma Deneyleri	31
<b>3. DENYE SONUÇLARI (BULGULAR)</b>	
3.1. Kimyasal Analiz Sonuçları	34
3.2. Alaşımların İçyapısı	34

3.3. Mekanik Deney Sonuçları	40
3.4. Aşınma Deneyi Sonuçları	47
<b>4. İRDELEME</b>	<b>51</b>
<b>5. SONUÇLAR</b>	<b>56</b>
<b>6. KAYNAKLAR</b>	<b>58</b>

## ŞEKİL LİSTESİ

	Sayfa
	No
Şekil 1 İkili çinko-alüminyum faz diyagramı.....	3
Şekil 2 Murphy'ye göre, Zn-Al-Cu sisteminin 350°C sıcaklıkta izotermal kesiti.....	4
Şekil 3 ZA alaşımlarında yaşlandırma sıcaklığı ve süresine göre boyut değişimi.....	10
Şekil 4 ZA alaşımlarının çekme mukavemetinin yaşlandırma sıcaklığı ve zamanına göre değişimi.....	15
Şekil 5 ZA alaşımının çekme mukavemeti ve % uzama değerinin sıcaklıkla değişimi.....	16
Şekil 6 ZA alaşımlarında sürüünme hızının gerilmeye göre değişimi.....	18
Şekil 7 Stribeck eğrisi.....	20
Şekil 8 Tipik bir aşınma eğrisi.....	21
Şekil 9 Monotektoid esaslı alaşımların aşınma diyagramı....	23
Şekil 10 Ötektoeid esaslı Üçlü alaşımların aşınma diyagramı.....	24
Şekil 11 CuPb30 ve ZnAl38Cu2 alaşımlarında meydana gelen aşınmanın uygulanan yükle göre değişimi.....	25
Şekil 12 Aşınma deney düzeneğinin şematik resmi.....	30
Şekil 13 Aşınma deney düzeneğinin görünümü.....	31
Şekil 14 Aşınma düzeneğine ait disk ve nümunenin yakından görünümü.....	32
Şekil 15 Uzama Ölçer (Strain gauge) için kalibrasyon doğrusu.....	33
Şekil 16 ZnAl25Cu2 alaşımının dökülmüş durumdaki iç yapısı..	35
Şekil 17 Stabilize edilmiş ZnAl25Cu2 alaşımının iç yapısı..	36
Şekil 18 ZnAl40Cu2 alaşımının dökülmüş durumdaki iç yapısı..	36
Şekil 19 ZnAl40Cu2 alaşımının stabilize edilmiş durumdaki iç yapısı.....	37
Şekil 20 ZnAl40Si2 alaşımının dökülmüş durumdaki iç yapısı..	38
Şekil 21 ZnAl40Si2 alaşımının stabilize edilmiş durumdaki iç yapısı.....	38

Şekil 22 ZnAl40Cu2Si2合金的铸造状态 内部结构.....	39
Şekil 23 ZnAl40Cu2Si2合金的稳定化状态 内部结构.....	39
Şekil 24 铸造状态下的二元Zn-Al合金的拉伸强度 与铝含量的关系.....	42
Şekil 25 炉中冷却的二元Zn-Al合金的拉伸强度 与铝含量的关系.....	43
Şekil 26 水淬后拉伸强度的变化.....	44
Şekil 27 铸造状态下的三元Zn-Al-Cu合金的拉伸强度 与铝含量的关系.....	44
Şekil 28 炉中冷却的三元Zn-Al-Cu合金的拉伸强度 与铝含量的关系.....	45
Şekil 29 水淬后拉伸强度的变化.....	45
Şekil 30 铜含量对铸造状态下的单相Zn-Al-Cu 合金的拉伸强度的影响.....	46
Şekil 31 水淬后拉伸强度的变化.....	46
Şekil 32 耐久性试验结果的温度-时间曲线.....	47
Şekil 33 合金的耐久性试验结果的图示.....	49

**TABLO LİSTESİ**

	Sayfa No
Tablo 1 İkili Çinko-alüminyum Sistemindeki Önemli Dönüşümler.....	4
Tablo 2 Ticari Zn-Al ve Bazı Döküm Alaşımlarının Fiziksel Özellikleri.....	9
Tablo 3 Modife Edilmiş ZA-27 Alaşımının Çekme Mukavemeti ve Yüzde Uzama Değerleri.....	12
Tablo 4 Zn-Al ile Bazı Döküm Alaşımlarının Mekanik Özellikleri.....	14
Tablo 5 ZA Alaşımları ile Bazı Döküm Alaşımlarının Kırılma Toklukları.....	17
Tablo 6 Alaşımların Kimyasal Bileşimleri.....	34
Tablo 7 Mekanik Deney Sonuçları.....	41
Tablo 8 Aşınma Deneyi Sonuçları.....	48

## ÖZET

Değişik kimyasal bileşimlerde bir dizi ikili çinko-alüminyum, üçlü çinko-alüminyum-bakır ve çinko-alüminyum-silisyum ve dörtlü çinko-alüminyum-bakır-silisyum合金aları kokil döküm yöntemi ile üretildi. Alaşımaların iç yapısı ve mekanik özellikleri, gerek dökülmüş, gerekse ısıl işlem görmüş durumlarda incelenerek, kimyasal bileşim oranının bu özellikler üzerindeki etkileri belirlendi. Sözkonusu合金aların aşınma davranışları ise, laboratuvara imal edilen yeni bir aşınma deney düzeneği yardımı ile incelendi. Bulunan sonuçlar合金aların kimyasal bileşimi, iç yapısı ve mekanik özelliklerine dayandırılarak açıklandı.

İncelemeler sonucunda, ikili合金aların çekme dayanımı ile sertliğinin artan alüminyum oranı ile artarak yaklaşık % 60 Al oranında en yüksek değerlere ulaştığı ve bu oranın üzerindeki bileşimlerde ise, tekrar azaldığı görüldü. Düşük oranlarda bakır içeren üçlü Zn-Al-Cu合金alarında ise, mukavemet değerlerinin alüminyum oranı ile artarak % 40 Al oranında en yüksek değerlere ulaştıktan sonra, tekrar düştüğü gözlandı. Ayrıca, düşük oranlarda bakır katkısının ikili çinko-alüminyum合金alarının çekme dayanımı ile sertliğini büyük ölçüde artttığı belirlendi. Ancak, belirli bir oranın üzerindeki bakır katkısının, bu合金aların mekanik özelliklerini olumsuz yönde etkilediği görüldü.

Bu çalışmada, dökülmüş durumdaki合金aların stabilize edilmiş合金lardan daha üstün aşınma davranışları sergilediği görüldü. Nitekim, en yüksek aşınma direnci dökülmüş durumdaki silisyum içeren üçlü合金dan, en düşük aşınma direnci ise stabilize edilmiş durumdaki bakır içeren üçlü ZnAl<sub>25</sub>Cu<sub>2</sub>合金ından elde edildi. Silisyum içeren bütün合金lar (ZnAl<sub>40</sub>Si<sub>2</sub>, ZnAl<sub>40</sub>Cu<sub>2</sub>Si<sub>2</sub>), gerek bakır içeren合金lardan ve gerekse geleneksel bir yatak malzemesi olan DIN-1705 (CuSn12) bronzundan daha üstün aşınma davranışları sergiledi. Alloyaların hem mukavemet ve hemde aşınma direncini yükseltmek bakımdan, bakır ve silisyumun çok uygun合金 elementleri olduğu belirlendi. Bakır katkısı合金aların mekanik özellik-

lerini iyileştirmede silisyumdan daha etkili olurken, silisyum katkısının aşınma dayanımını arttırmada bakırdan daha etkin olduğu görüldü. Nitekim, hem bakır ve hemde silisyum içeren dörtlü ZnAl<sub>4</sub>Cu<sub>2</sub>Si<sub>2</sub>合金的成分是ZnAl<sub>4</sub>Cu<sub>2</sub>Si<sub>2</sub>，而不是ZnAl<sub>4</sub>O<sub>2</sub>Si<sub>2</sub>。它的相图显示了四元系中的各种相区和可能的反应路径。在某些条件下，它可能包含Al<sub>2</sub>O<sub>3</sub>、ZnO、Cu<sub>2</sub>O等第二相。然而，根据提供的信息，主要讨论的是其力学性能，特别是耐腐蚀性和耐磨性，这与含铜量较高有关。

## SUMMARY

A series of binary zinc-aluminum, ternary zinc-aluminum-copper and zinc-aluminum-silicon and quaternary zinc-aluminum-copper-silicon alloys were produced by permanent mould casting. Their micro-structure and mechanical properties were investigated in the as-cast and heat treated conditions as a function of chemical composition. The wear behaviour of the alloys was examined using a new wear test apparatus which is designed and constructed for this work. The wear test results obtained from the alloys were related to their chemical composition, microstructure and mechanical properties.

It was found that the tensile strength and the hardness of the binary alloys increased with increasing aluminum content up to 60 % Al, above which they decreased as the aluminum content increased. It was also found that the additions of small amount of copper greatly increased the tensile strength and hardness of the binary alloys. However, above a certain percentage, the mechanical properties of these alloys were inversely affected by the copper additions.

It was also shown that all the experimental alloys in the as-cast condition exhibited superior wear behaviour than in the stabilized condition. Among the experimental alloys, the highest wear resistance was obtained with the silicon-containing alloys in the as-cast condition, while the copper-containing ternary ZnAl<sub>2.5</sub>Cu<sub>2</sub> alloy showed the lowest wear resistance in the stabilized condition.

As a result of this work, copper and silicon were found to be most useful alloying additions to improve both mechanical and wear behaviour of the alloys. However, copper was a more effective strengthening additive than silicon, while silicon was found to be more effective than copper in increasing wear resistance of the alloys.

A quaternary alloy containing both copper and silicon, showed higher strength than silicon-containing ternary alloys, and higher wear resistance than copper-containing ternary alloys. It is therefore concluded that for zinc-aluminum alloys optimum properties including strength and wear resistance can be obtained by the additions of controlled amount of both copper and silicon.

## **1. ÇINKO-ALÜMİNYUM ALAŞIMLARI İLE İLGİLİ LİTERATÜR ARAŞTIRMASI**

### **1.1. Giriş**

Son yıllarda çinko-alüminyum esaslı alaşımaların geliştirilmesi ve uygulama alanlarının yaygınlaştırılması amacıyla yoğun araştırma çalışmaları yürütülmektedir. Bu alaşımlara gösterilen ilgi bunların ekonomik avantajları yanında, üstün tribolojik ve mekanik özelliklerinden kaynaklanmaktadır. Yalnız Kuzey Amerika'da çinko-alüminyum esaslı alaşımaların pazar payının, toplam döküm malzemesi hacminin % 1.3'ü olan 180.000 ton olarak gerçekleşeceği gözönüne alındığında, bu alaşımların ne kadar geniş uygulama alanlarında kullanıldığı ortaya çıkmaktadır.

Yapılan araştırmalar, çinko-alüminyum esaslı yatak alaşımalarının geleneksel yatak malzemelerine göre pekçok üstünlüklerle sahip olduğunu göstermiştir (Savaşkan ve diğ., 1986, S.211). Bu üstünlüklerin başında, çinko-alüminyum esaslı alaşımaların aşınma direncinin ve özgül mukavemetinin (mukavemet/yoğunluk) yüksek olması, alaşım elementlerinin kolaylıkla ve ucuza temin edilebilmesi, ideal döküm ve ıslıl işlem özelliklerine sahip olması gelmektedir. Söz konusu alaşımlar, pekçok uygulamada beyaz metal (Babbitt), bronz, pirinç ve dökme demir gibi geleneksel yatak malzeme-lerinin yerini almaktadır.

### **1.2. Çinko-Alüminyum Alaşımalarının Tarihsel Gelişimi**

Çinko-alüminyum alaşımalarının yatak malzemesi olarak üretilimi II. Dünya Savaşı yıllarına rastlar (Altorfer, 1982). Bu yıllarda bakır tedarikinde karşılaşılan güçlükler nedeniyle çinko-alüminyum esaslı alaşımlar bronzlara bir alternatif olarak düşünlülmüş ve üretilmiştir. İlk üretilen çinko-alüminyum esaslı yatak alaşımları piyasada "beyaz bronz" olarak adlandırılmıştır. (Calayag ve Ferres, 1982, S.40).

Savaş sonrası, malzeme ihtiyacı daha kolay karşılanabildiğiinden pek çok uygulama için tekrar bronza dönülmüştür. Ancak bazı firmalar, yatak uygulamaları için yüksek oranda alüminyum içeren çinko alaşımları geliştirmeye devam etmişlerdir.

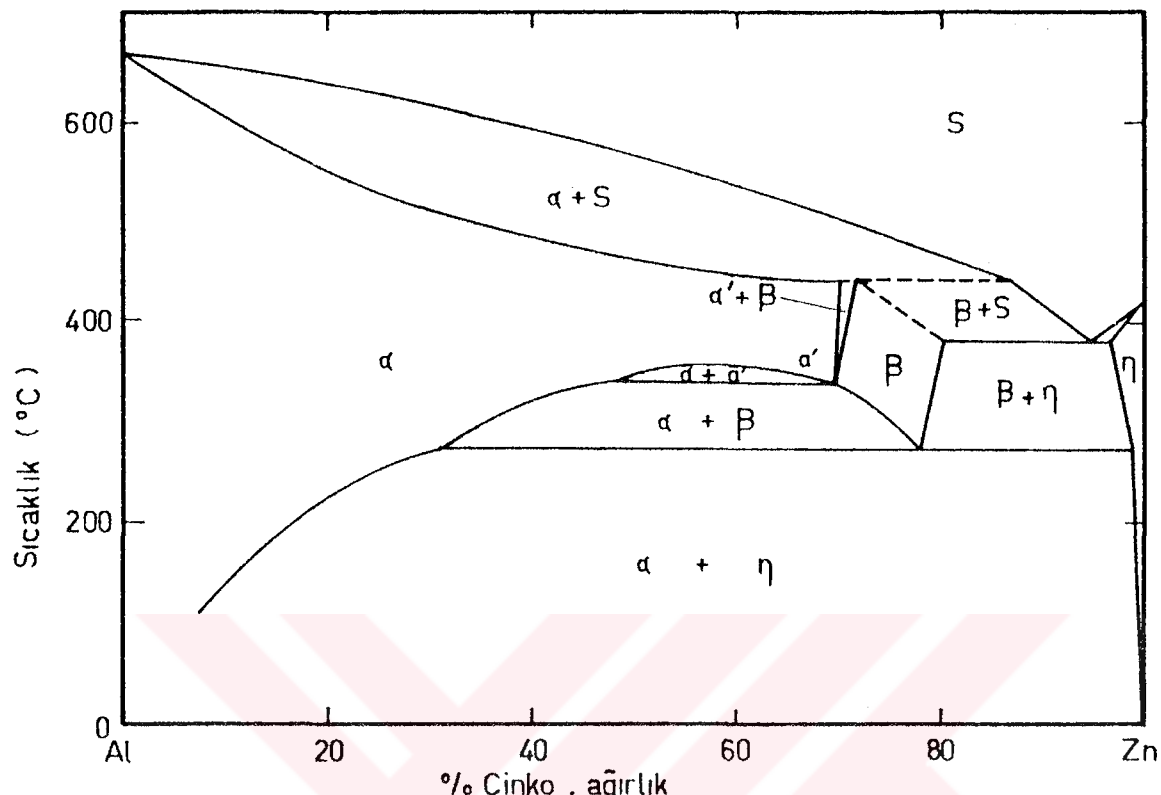
1960'lı yıllarda ILZRO (International Lead-Zinc Research Organization) tarafından geliştirilen ILZRO-12(ZA-12) ve ILZRO-16 adlı ticari alaşımları, 1970 li yıllarda Noranda firması tarafından geliştirilen ZA-8 ve ZA-27 adlı çinko-alüminyum esaslı alaşımalar izlemiştir (Gervais ve Loong, 1984, S.1.). Aynı yıllarda, Avusturya'daki Vöest-Alpina firması tarafından çinko-esaslı %27-70 Al, %0-5 Cu ve %0-5 Si içeren ALZEN alaşımları geliştirilmiştir. Bu alaşımlardan ALZEN-305 (ZnAl30Cu5) olarak bilinen ticari alaşım bugün İngiltere'de Fry's Metals firması tarafından yatak uygulamaları için önemli miktarlarda üretilmektedir (Savaşkan ve diğ., 1984, S.152).

Son zamanlarda, Kuzey Amerika'da daha çok düşük miktarlar da bakır ve silisyum içeren çinko-alüminyum alaşımlarına karşı bilyüyen bir ticari ilgi vardır. Çinko-alüminyum alaşımları bugün yatak uygulamaları dışında, yapısal parçaların kokil dökümü ve genel amaçlı döküm alaşımları olarak kullanılmaktadır.

### 1.3. Çinko-Alüminyum Esaslı Alaşımaların Faz Diyagramları

#### 1.3.1. İkili Çinko-Alüminyum Faz Diyagramı

İkili çinko-alüminyum sistemi pek çok araştırmacı tarafından incelenmiştir. Presnyakov ve arkadaşları (Presnyakov ve diğ., 1961, S.632/633) tarafından belirlenen ve daha sonra Goldak ve Parr (Goldak ve Parr, 1964) tarafından geliştirilen faz diyagramının, bu sistemi en doğru şekilde temsil ettiği kabul edilmiştir. İkili çinko-alüminyum faz diyagramı Şekil 1'de verilmiştir. Sınırsız sıvı çözünürlüğü gösteren bu sistem metallerarası bileşik (Intermetalik) oluşumuna izin vermemektedir. Çinko esaslı alaşımaların katılışma aralığı alüminyum oranına göre değişmekte ve bu nedenle dökülen alaşımların iç yapısı farklı özellikler göstermektedir (Delneuville ve diğ., 1985, S.569).



Şekil 1. İkili çinko-alüminyum faz diyagramı

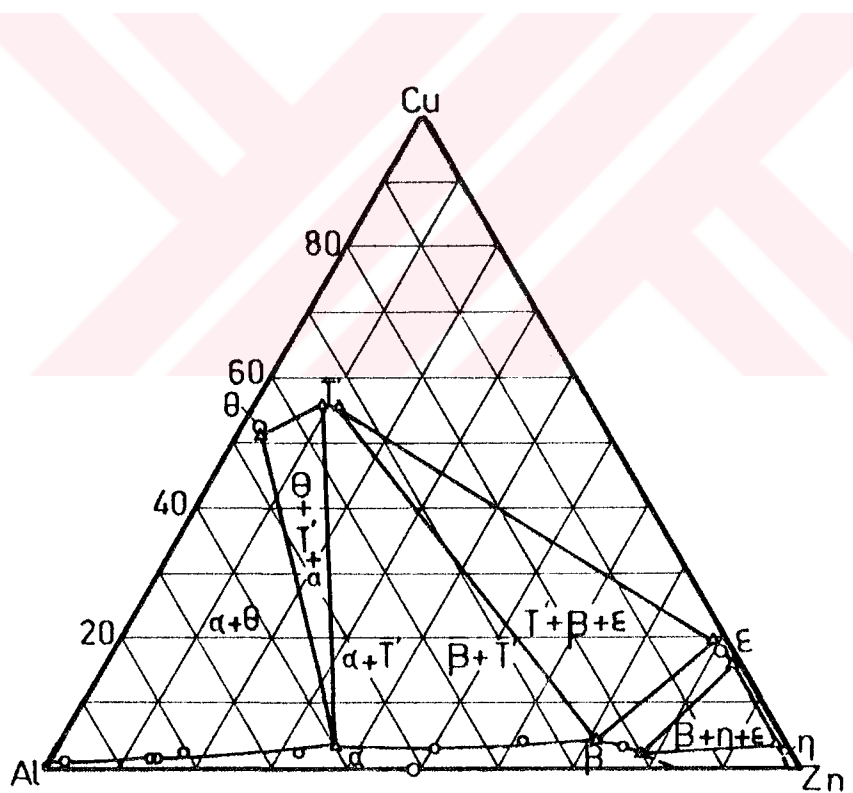
Bu diyagramda alüminyumca zengin faz bölgesi  $\alpha$ , çinko ca zengin faz ise  $\eta$  fazı olarak adlandırılmıştır. Alüminyum içeri sindeki çinko katı eriyiği % 80 Zn oranına kadar uzanarak  $\alpha$ ,  $\alpha'$  ve  $\beta$  olarak adlandırılan üç değişik faz bölgesi olusturmaktadır. Bu fazların hepsi, yüzey merkezli kübik (YMK) yapıya sahip tir.  $\alpha$  ve  $\alpha'$  fazlarının kafes parametreleri birbirine çok yakın olduğundan, bunlar arasındaki faz sınırı tam olarak belirlenememiştir. Faz diyagրamından görüldüğü gibi, % 32-78 Zn oranları arasında ise  $\alpha + \alpha'$  olarak adlandırılan bir karışmazlık bölgesi (immiscibility gap) oluşmaktadır. İkili çinko-alüminyum合金 diyagramında ortaya çıkan faz dönüşümleri Tablo 1'de verilmiştir.

Tablo 1 İkili çinko-alüminyum sistemindeki önemli dönüşümler

Dönüşüm	Bileşim Oranı (%Zn)	Sıcaklık (°C)
Ötektik S $\rightleftharpoons \beta + \eta$	95	382
Ötektoid (i) $\beta \rightleftharpoons \alpha + \eta$	78	276
(ii) $\alpha / \alpha' \rightleftharpoons \alpha + \beta$	32	340
Peritektik $\alpha + S \rightleftharpoons \beta$	72	443

### 1.3.2. Üçlü Çinko-Alüminyum-Bakır Faz Diyagramı

Üçlü çinko-alüminyum-bakır sistemine ait faz diyagramı henüz tam olarak belirlenmemiş olmakla birlikte, sistemin düşük oranlarda bakır içeren bölümü Murphy (Murphy, 1980) tarafından ayrıntılı olarak incelenmiştir. Çinko-alüminyum-bakır合金 diyagramının  $350^{\circ}\text{C}$  sıcaklığındaki izotermal kesiti Murphy (Murphy, 1980, S.96/102) tarafından belirlenerek Şekil 2'de verilmistir.



Şekil 2. Murphy'ye göre, Zn-Al-Cu sisteminin 350°C sıcaklığındaki izotermal kesiti

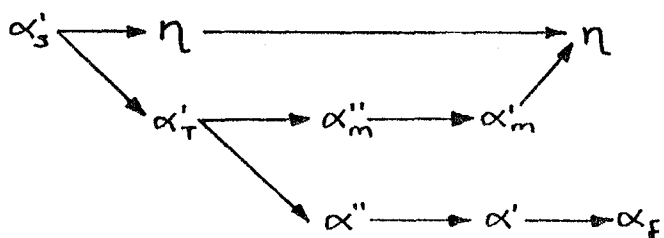
Çinko-alüminyum-bakır alaşımlarında  $\epsilon$  ( $CuZn_4$ ),  $\theta$  ( $CuAl_2$ ) ve  $T'$  ( $Al_4Cu_3Zn$ ) gibi intermetalik bileşiklerin oluşması nedeniyile faz dönüşümleri ikili sisteme göre, çok daha karmaşık olup tamamlanması uzun süre almaktadır. Koster'e göre (Koster, 1941, S.289)  $\alpha + \epsilon \rightleftharpoons T' + \eta$  dönüşümünün oda sıcaklığında tamamlanması için birkaç aydan birkaç yıla kadar değişen bir dönüşüm süresi gereklidir. Lohberg (Lohberg, 1983, S.456/457) yukarıda belirtilen dörtlü faz reaksiyonunun Zn-Al-Cu alaşımlarında yaklaşık %4,5 oranında bir hacim büyümESİSine neden olduğunu belirlemiştir. Krol ve Tosior (Krol ve Tosior, 1971, S.199) %1-10 arasında bakır içeren Zn-Al-Cu alaşımlarında, yaşlandırma sırasında ortaya çıkan faz dönüşümlerini inceleyerek aşağıdaki katı hal reaksiyonlarını önerdiler:



Düşük oranlarda (%1-5) bakır içeren Zn-Al-Cu alaşımlarında kararlı bir içyapı oluşturmak için uygun bir ışıl işlemle yukarıda verilen faz dönüşümlerinin tamamlanması gereklidir. Bunu gerçekleştirmek için de alaşımların döküm sonrası,  $150^{\circ}\text{C}$ 'da yaklaşık 400 saat, yada  $200^{\circ}\text{C}$ 'da 80 saatlik bir süre ısıtılmalarının yeterli olabileceği, yapılan deneyler sonucunda belirlenmiştir (Savaşkan ve Murphy, 1984, S.553).

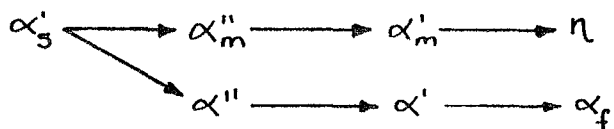
### 1.3.3. Üçlü Çinko-Alüminyum-Silisyum (Zn-Al-Si) Faz Diyagramı

Çinko-alüminyum-silisyum合金 sistemine ait faz diyagramı henüz tam olarak belirlenmemiş olmakla birlikte, bu sistemdeki faz dönüşümleri Savaşkan ve arkadaşları (Savaşkan ve diğ., 1983, S.1) tarafından elektron mikroskopu ve X-ışınları difraksiyonu yardımcı ile incelenmiştir. Bu araştırma sonucunda çözündürme ve su verme işlemi sonrası yaşlandırılan monotektoid bileşimdeki ZnAl<sub>3</sub>Si<sub>5</sub>合金ında, aşağıda verilen faz dönüşümlerinin ortaya çıktığı belirlenmiştir:



Bu faz dönüşümü sırasında ilk önce oluşan G.P. bölgelerini, çinkoca zengin  $\alpha_m''$  ve  $\alpha_m'$  geçiş fazları izlemekte ve dönüşüm çinkoca zengin  $\eta$  fazı ile alüminyumca zengin  $\alpha_f'$  fazının oluşumu ile tamamlanmaktadır.

Düşük oranda çinko içeren üglü ZnAl65Si<sub>5</sub>合金中 ise aşağıda verilen faz dönüşümlerinin ortaya çıktığı belirlenmiştir:



ZnAl65Si<sub>5</sub>合金中 faz dönüşümleri monotektoid合金中 (ZnAl35Si<sub>5</sub>) daha yavaş olmakla birlikte, ilk dönüşüm safhasında yalnız, çinkoca zengin geçiş fazlarının olduğu gözlenmiştir. Su verme işlemi ile elde edilen aşırı doymuş  $\alpha_s'$  fazı, yaşalandırma sırasında birtakım geçiş fazları ( $\alpha_m'', \alpha_m', \alpha'', \alpha'$ ) oluşturuktan sonra, çinkoca zengin  $\eta$  ve alüminyumca zengin  $\alpha_f'$  kararlı fazlarına dönüşmektedir (Zhu, 1983).

Bu çalışma sonucunda ayrıca, silisyumun çinko-alüminyum合金中ları içerisindeki katı çözünürlüğünün çok az olduğu ve bu nedenle faz dönüşümlerini pek etkilemediği görülmüştür. Bununla birlikte, silisyum parçacıklarının büyülüğu ve dağılımının bileşim oranına bağlı olduğu gözlenmiştir. Şöyleki, silisyum oranı artırıldığında silisyum parçacıklarının büyüğü ve dağılımlarının düzensizleştiği görülmüştür. Silisyum miktarı belli bir oranın (% 2) altında tutulduğunda ise silisyum parçacıklarının hem boyutunun küçüldüğü, hem de daha homojen olarak dağıldığı gözlenmiştir.

#### 1.4. Çinko-Alüminyum Alloy'larının Özellikleri

##### 1.4.1. Yapısal Özellikler

Alaşımaların iç yapısını etkileyen faktörlerin başında, kimyasal bileşim oranı, ıslık işlem ve soğuma hızı gelmektedir. Çinko-alüminyum合金中ları dökülmüş durumda göbekli dendritik bir iç yapı sergilemektedir.

Dökülmüş durumdaki ötektoide ve monotektoide bileşimdeki ikili çinko-alüminyum合金中larının iç yapıları genelde alüminyumca zengin dendritler (dal biçimindeki faz) ile bunları çevre-

releyen çinkoca zengin fazlardan oluşmaktadır. Ancak, alüminyum oranı arttıkça iç yapıdaki alüminyumca zengin dendritlerin büyüğü artmaktadır.

$\alpha, \alpha'$  ve  $\beta$  faz bölgelerinin herhangi birinden yavaş soğutulan alaşımaların iç yapılarında kararlı çinko ( $\eta$ ) ve alüminyum ( $\alpha$ ) fazları oluşmaktadır.  $\beta$  fazı içerisinde ( $350^{\circ}\text{C}$  sıcaklıkta) çözündürme işlemine tabi tutulan ikili ötektoid alaşım yavaş soğutulduğunda çinko ve alüminyumca zengin katmanlar içeren lamelli bir iç yapı oluşmaktadır. İç yapıdaki lamel büyüklüğü (lamel aralığı) alaşının soğuma hızına bağlıdır. Fırında soğutulan alaşımarda kaba lamelli, havada soğutulan alaşımarda ise ince lamelli bir iç yapı oluşmaktadır.

Hızlı soğutma işlemi çinkonun, aşırı doymuş katı eriyik içerisinde tutulmasına neden olur ve sonraki yaşlandırma sırasında katı eriyik içerisinde ortaya çıkan faz dönüşümleri bir takım geçiş fazları oluştururlar. En son elde edilen iç yapı, alaşımaların bileşimine ve yaşlandırma sıcaklığına bağlıdır. Yaklaşık % 50 oranına kadar çinko içeren alaşımalar bir takım araştırmacılar (Carpenter ve Garwood, 1967) tarafından incelenerek aşağıdaki faz dönüşümleri bulunmuştur:

Aşırı doymuş katı eriyik  $\xrightarrow{\text{küresel Guiner-Preston bölgeleri (G.P zonları)}}$  rombohedral  $\alpha' \xrightarrow{\text{küpik}} \alpha' \xrightarrow{\text{çinko}}$

Bileşimleri  $\beta$  fazı bölgesindeki gelen alaşımalar, çözündürme ve su verme işlemleri sonrası ortamsıcaklığında yaşandığında, çinko ve alüminyumca zengin, eş-eksenli çok ince taneleri içeren bir iç yapı oluşmaktadır. Araştırmacılar bu yapısal değişikliği spinodal faz dönüşümüne dayandırarak açıklamaktadırlar (Savaşkan ve Murphy, 1984, S.533/534).

Düşük oranlarda bakır içeren monotektoid ve ötektoid esaslı üçlü alaşımaların iç yapılarının morfolojik bakımından ikili monotektoid ve ötektoid alaşımaların iç yapılarına çok benzettiği görülmüştür. Ancak bakır içeren üçlü alaşımaların iç yapılarında bakırca zengin  $\mathcal{E}(\text{Cu-Zn}_4)$  ve  $T'(\text{Al}_4\text{Cu}_3\text{Zn})$  gibi metallerarası bilesiklerin oluştuğu gözlenmiştir. Söz konusu intermetalik fazların ayrıca yapay yaşlandırma sırasında da oluştuğu görülmüştür.

Düşük oranlarda silisyum içeren monotektoid alaşımının dökülmüş durumdaki iç yapısı, alüminyumca zengin  $\alpha$  dendritlerini çevreleyen çinko zengin fazlar ile silisyum parçalarından oluşmaktadır.  $150^{\circ}\text{C}$  sıcaklıkta 240 saatlik yaşlandırma (Stabilizasyon) işlemi sonunda hem  $\alpha$  taneleri içerisinde hem de dendritlerarası bölgelerde çinko ve alüminyumca zengin çökeltilerin oluştuğu gözlenmiştir (Savaşkan ve dig., 1987, S.83). Ancak uygulanan stabilizasyon işleminin silisyum fazı üzerinde pek etkili olmadığı görülmüştür.

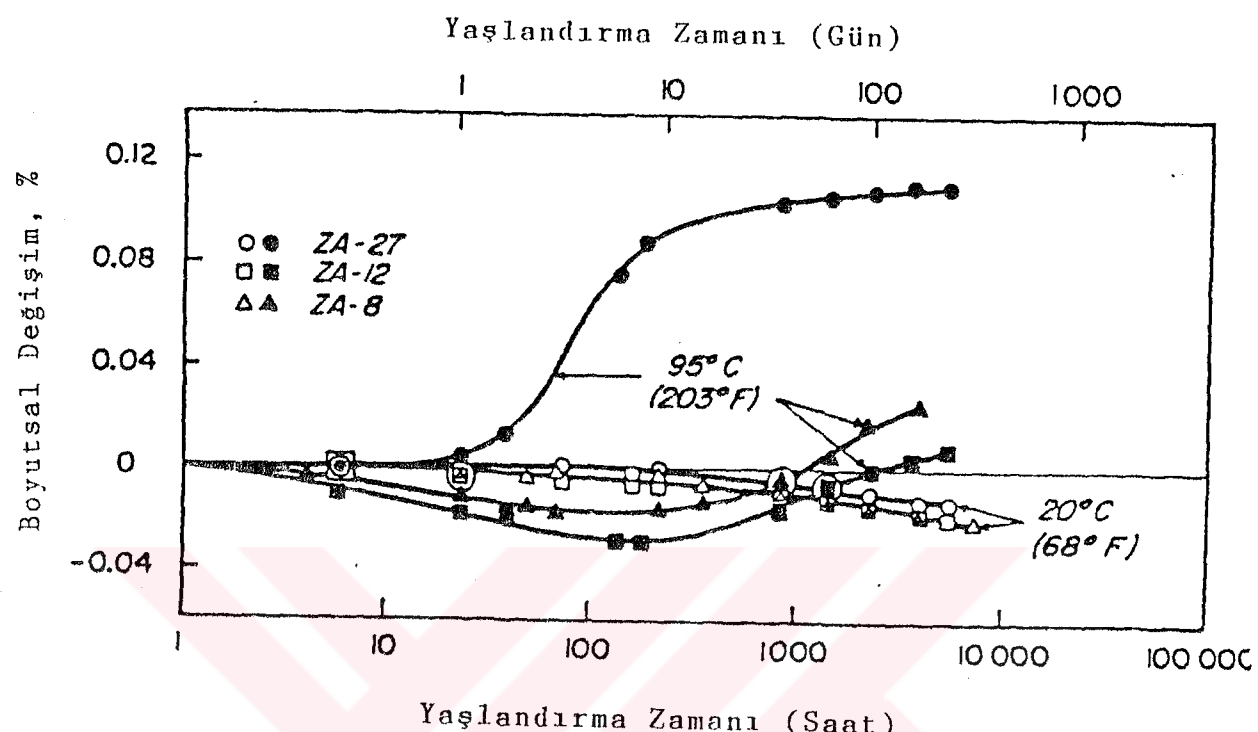
#### 1.4.2. Fiziksel Özellikler

Çinko-alüminyum alaşımının yoğunlukları, bronz, pirinç, dökme demir gibi geleneksel alaşımlara göre daha düşük olup, özgül mukavemeti (Mukavemet/yoğunluk) ise oldukça yüksektir. Alüminyum oranı arttıkça azalan yoğunluk değerleri bu alaşımın birim maliyet değerini büyük ölçüde düşürmektedir. Tablo 2'de ticari çinko-alüminyum alaşımı ile birlikte bazı döküm alaşımının tipik fiziksel özelliklerini gösteren değerler verilmiştir. Çinko-alüminyum alaşımının ıslıl iletkenlik, ıslıl genleşme ve elektriksel iletkenlik katsayıları alüminyum alaşımı dışındaki, geleneksel döküm alaşımına göre, daha yüksek olup, bu katsayılar artan alüminyum oranı ile artmaktadır.

Üçlü çinko-alüminyum-bakır alaşımında katılaşma sırasında oluşan kararsız dengeli (metastabil) fazların, yaşlandırma sırasında kararlı fazlara dönüşmesi sonucunda, bir hacimsal büyümeyenin meydana geldiği bilinmektedir (Lohberg, 1983, S.456/457). Bu hacimsal büyümeyenin, artan bakır oranı ve sıcaklık ile birlikte arttığı yapılan incelemeler sonucunda belirlenmiştir. Şekil 3'de ticari ZA alaşımında yaşlandırma sıcaklığı ve süresinin alaşımın boyutsal değişimi üzerindeki etkisi görülmektedir.  $20^{\circ}\text{C}$  lik sıcaklıkta uygulanan 12.000 saatlik doğal yaşlandırma işlemi tüm alaşımlarda % 0.015 - 0.03 arasında bir büyümeye meydana getirirken, daha yüksek sıcaklıkta ( $95^{\circ}\text{C}$ ) uygulanan yaşlandırma işleminin hacimsal büyümeye yol açtığı gözlenmiştir (Barnhurst ve dig., 1985, S.46).

Tablo 2 Ticari Zn-Al ve Bazı Döküm Alaşımlarının Fiziksel Özellikleri

Alaşım	Özellikler					Elektrik İletkenliği % IACS
	Yoğunluk (gr/cm <sup>3</sup> )	Ergime Aşalığı (°C)	Isıl Geçiş Katsayısı (μm/m·K)	Isıl İletkenlik W/m·K		
No.3 AG-40A Çinko Alaşımı Basınçlı Döküm	6.60	381-387	27.4	113	27.0	
No.5 AC-41A Çinko Alaşımı Basınçlı Döküm	6.70	380-386	27.4	109	26.0	
ZA-8 Kokil Döküm	6.3	373-404	23.2	115	27.7	
ZA-12 Kokil Döküm	6.03	377-432	24.1	116	28.3	
ZA-27 Kum Döküm	5.0	375-484	26.0	125.5	29.7	
Alüminyum Alaşımı 356-T6 Kokil Döküm	2.69	556-615	21.5	151	39	
Alüminyum Alaşımı 380 Basınçlı Döküm	2.74	540-595	21.8	96.2	27	
Alüminyum Alaşımı 319 Basınçlı Döküm	2.80	515-605	21.5	109	27	
SAE-40 Pirinci Kum Döküm	8.83	855-1010	18	72	15	
SAE-660 Bronzu Kum Döküm	8.93	855-975	18	59	12	
SAE-64 Bronzu Kum Döküm	8.88	762-928	18.5	46.9	10.1	
Kır Dökme Demir C 30 Kum Dök.	6.94	1176	12.1	49-52	--	
Dövülebilir Çelik 32510 Kum Dök.	7.2-7.45	1232	11.9	--	6	



Şekil 3. ZA alaşımlarında yaşlandırma sıcaklığı ve süresine göre boyut değişimi

#### 1.4.3. Mekanik Özellikler

Alaşım elementi olarak katılan alüminyum bu alaşımların döküm özelliklerini iyileştirmekten başka, mukavemet değerlerini de arttırmaktadır. Ancak çinko esaslı ikili alaşımının mekanik özelliklerinin pek çok uygulama için yetersiz olduğu bilinmektedir.

Yapılan araştırmalar, bakır, magnezyum, silisyum gibi alaşım elementi katkılarının ikili çinko-alüminyum alaşımının mukavemetini artırdığını göstermiştir. Özellikle bakır katkısı, ikili alaşımının mukavemet, korozyon ve aşınma dayanımlarını büyük ölçüde artırmaktadır. Ayrıca bakır katkısı arttıkça üçlü alaşımarda ortaya çıkan hacimsel büyümeye miktarının da arttığı bilinmektedir. Bu nedenlerle üçlü Zn-Al-Cu alaşımında, bakır

oranının % 3 değerinden daha düşük tutulmasının gerek boyutsal kararlılık ve gerekse mekanik özellikler açısından uygun olacağı ortaya çıkmaktadır (Savaşkan ve Murphy, 1986, S. 223).

Malzemelerin mekanik özellikleri, sahip oldukları iç yapıya bağlıdır. Çinko-alüminyum alaşımlarında iç yapı mekanik özellik ilişkileri dökülmüş ve ısıl işlem görmüş durumlarda pek çok araştırmacı tarafından incelenmiştir. Skenazi ve arkadaşları (Skenazi ve diğ., 1983, S. 898) dökülmüş durumda ZA adlı ticari alaşımın iç yapısındaki dendrit kol aralığı küçüldükçe alaşımın çekme mukavemetinin arttığını gözlemiştir. Ayrıca, aynı araştırmacıların söz konusu alaşımında, dendrit kol aralığı ( $d$ ) ile çekme mukavemeti ( $R_m$ ) arasında buldukları bağıntılar aşağıda verilmiştir:

Alaşım No	Bağıntı
ZA - 8	$R_m = 49 + 857 d^{-1/2}$
ZA - 12	$R_m = 240 + 400 d^{-1/2}$
ZA - 27	$R_m = 370 + 200 d^{-1/2}$

Bu bağıntılarda,  $R_m$ 'nin birimi MPa,  $d$  ise  $\mu\text{m}$  olarak alınmıştır. Çinko-alüminyum alaşımlarında tane boyutu soğuma hızından başka tane küçültücü element katkıları ile de kontrol edilmektedir (Skenazi ve diğ., 1983, S. 901). Yapılan araştırmalar B, Ti, Zr, La ve Ce gibi katkı elementlerinin tane boyutunu küçülterek alaşımın mukavemet değerlerini iyileştirdiğini göstermiştir. Tane küçültücü katkı elementlerinin ZA-27 ticari alaşımının mukavemet değerleri üzerindeki etkisi Tablo 3'de verilmektedir.

Aşağıdaki tablodan Ti-B master alaşımının en etkin tane küçültücü katkı maddesi olduğu görülmektedir.

Tablo 3 Modife Edilmiş ZA-27 Alaşımının Çekme Mukavemeti ve  
Yüzde Uzama Değerleri

Tane Küçültücü Elementler	Çekme Mukavemeti (MPa)	% Uzama
--	400	5
B	400	13
B	383	15
Ti-B	404	14
Ti-B	402	18
Ti-B	438	6
Zr	371	1
Ti-Ba	418	12
La	398	14
Ce	392	13

Çinko-alüminyum alaşımlarının ergime sıcaklıklarının düşük ve katılışma aralıklarının oldukça geniş olması içyapıda mikroboşlukların (porozite) oluşmasına neden olmaktadır. Katılılaşma sırasında, içyapıda oluşan mikroboşlukların alaşımların mukavemet değerlerini önemli ölçüde azalttığı gözlenmiştir (Delneuville ve dig., 1985, S. 571). Bu nedenle, dökümsrasında katkılaşmaya etki eden bütün faktörlerin (döküm sıcaklığı, kokil sıcaklığı, katılışma hızı, kokil biçim ve geometrisi vb.) kontrol edilerek boşluk (porozite) oluşumunun önlenmesi yada en aza indirilmesi gereklidir.

Genel olarak çinko-alüminyum alaşımları geleneksel döküm alaşımlarından daha üstün mukavemet değerlerine sahiptir. Çinko-

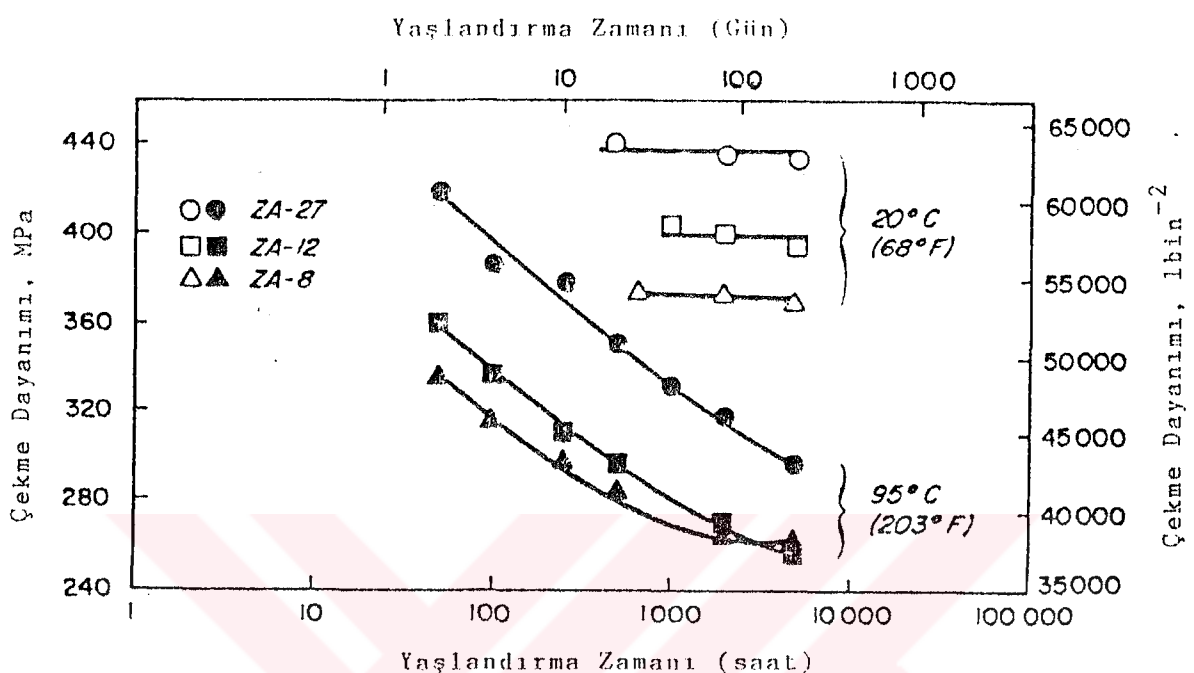
alüminyum alaşımaları ile bazı döküm alaşımalarının mekanik özelliklerini Tablo 4'de verilmiştir. Bu tablodan görüldüğü gibi, çinko esaslı alaşımalar alüminyum ve bakır alaşımalarından daha sert, fakat dökme demirden (DD) daha yumuşaktır. (Gervais ve diğ., 1985).

Kararlı bir iç yapı elde etmek amacıyla uygulanan yapay yaşılandırma işleminin Zn-Al alaşımalarının mukavemetini ve % uzama miktarını etkilediği gözlenmiştir.  $95^{\circ}\text{C}$  sıcaklıkta 10 günlük yaşılandırma işlemi, ticari ZA alaşımalarının çekme ve akma dayanımlarını, darbe mukavemetini ve sertlik değerlerini azaltmakla birlikte, kopma uzamasını yaklaşıklar olarak iki katına çıkarmaktadır. (Gervais ve diğ., 1985, S. 46). New Jersey Çinko kurumunun araştırmalarına göre (Anderson ve diğ., 1968),  $95^{\circ}\text{C}$ 'da 10 günlük yaşılandırma işlemi 3 no'lu (Zn-Al3) çinko alaşımının çekme dayanımını 283 MPa'dan, % 15'lik bir azalma ile 241 MPa değerine düşürmektedir. Aynı şekilde bu işlem kopma uzamasını % 10 değerinden % 15'e, sertlik değerini 82 BSD'den 62 BSD değerine ve darbe enerjisini ise 58 Joule'den 54 Joule değerine düşürmektedir. Gervais ve arkadaşları (Gervais ve diğ., 1985, S.46) tarafından yapılan diğer bir araştırmada, oda sıcaklığında ( $20^{\circ}\text{C}$ ) 5000 saat yaşılandırma işleminin ZA adlı ticari alaşımaların mukavemet değerleri üzerinde pek etkili olmadığı gözlenmiştir. ZA alaşımalarının çekme mukavemetinin yaşılandırma sıcaklığı ve zamanına göre değişimini gösteren eğriler (Gervais ve Loong, 1984, S.16) Şekil 4'te verilmiştir.

Çinko-alüminyum alaşımalarının ergime sıcaklıklarını oldukça düşüktür. Bu durum bir avantaj olmakla birlikte, söz konusu alaşımaları sıcaklığa karşı duyarlı bir hale getirmektedir. Bu nedenle, ticari ZA-27 alaşımı içi çalışma sıcaklığı  $120^{\circ}\text{C}$ , ZA-8 ve ZA-12 alaşımaları için  $90^{\circ}\text{C}$  olarak sınırlanmıştır (Gervais ve Loong, 1985, S. 47). Çinko-alüminyum alaşımalarının akma dayanımı, çekme dayanımı ve sertliği artan sıcaklıkla azalmakta, % uzama miktarı ise artmaktadır. Değişik döküm yöntemleri ile üretilmiş çinko-alüminyum alaşımalarında sıcaklığın çekme mukavemeti ve % uzama değerine etkisi Şekil 5'de verilmiştir (Gervais ve diğ., 1985, S. 46).

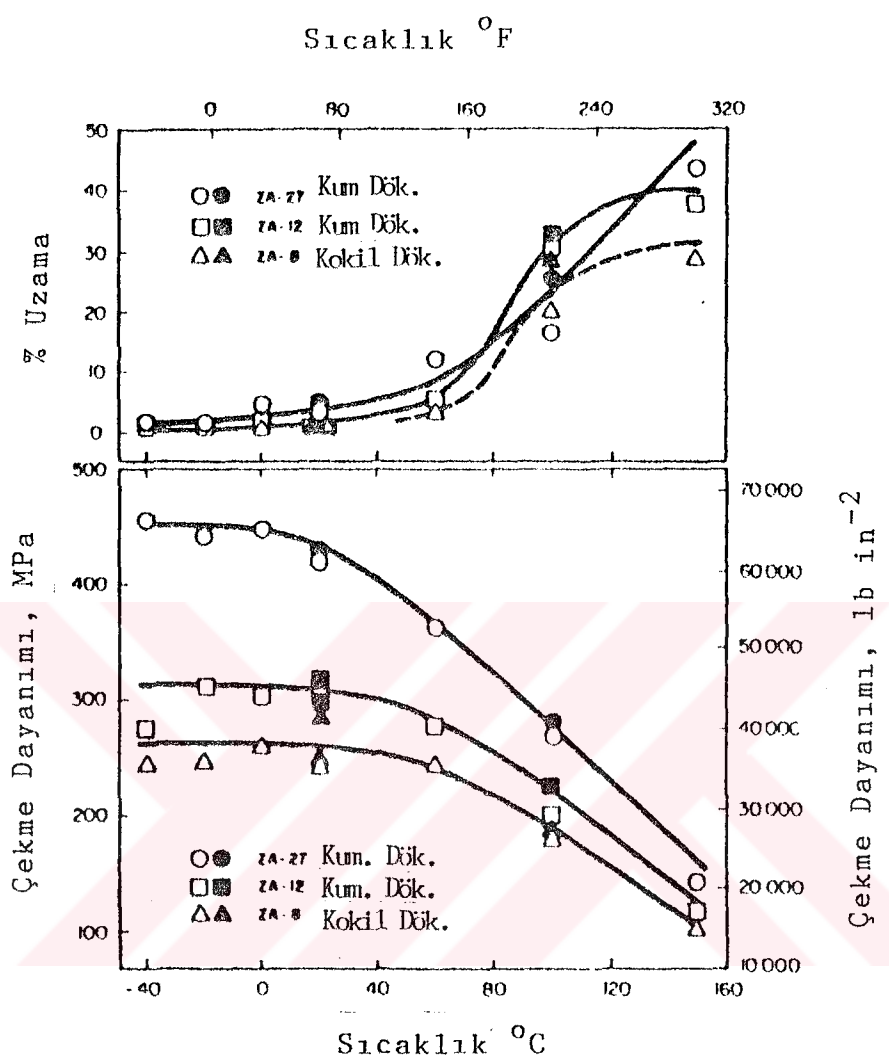
Tablo 4 Zn-Al ile bazı döküm alaşımlarının mekanik özelliklerı

Alaşım	Özellikler					
	Çekme Mukavemeti (MPa)	%0.2 Akma Mukavemeti (MPa)	Young Modülü (GPa)	Yüzde Uzama	Brinell Sertliği 500-10-30s	Darbe Dayanımı (J)
No.3 AG-40A Çinko Alaşımı Basınçlı Döküm	283	--	--	10	82	58
No.5 AC-41A Çinko Alaşımı Basınçlı Döküm	331	--	--	7	91	65
ZA-8 Basınçlı Döküm	221-255	207	85.5	1-2	85-90	--
ZA-12 Basınçlı Döküm	393-414	310-331	--	4-7	93-107	20-37
ZA-27 Basınçlı Döküm	407-441	359-379	--	2.0-3.5	116-122	9-16
Alüm. Alaşımı 356-T6 Kokil Döküm	262	186	72.4	5.0	80	--
Alümin. Alaşımı 380 Basınçlı Döküm	324	158	71.0	3.5	80-85	--
Alümin. Alaşımı 319 Basınç. Dök.	185	124	74.0	2	70	--
SAE-40 Pirinci Kum Döküm	255	117	83	30	60	15
SAE-660 Bronzu Kum Döküm	240	124	100	20	65	8
SAE-64 Bronzu Kum Döküm	240	124	80	20	60	15
Kır Dökme Demir C30 Kum Döküm	214	124	90-113	--	210	--
Dövülebilir Çelik 32510 Kum Döküm	345	221	172	10	110-156	54-88



Şekil 4. ZA合金larının çökme mukavemetinin yaşlandırma sıcaklığı ve zamanına göre değişimi

Çinko-alüminyum合金larının kırılma tokluğu diğer mühendislik malzemelerine göre düşük olmamakla birlikte, tokluk değerleri alüminyum oranı ile artmaktadır (Gervais ve diğ., 1985 S.46/47). Ticari ZA合金larının tipik bir sünek-gevrek geçiş davranışını sergiledikleri gözlenmiştir (Gervais ve diğ., 1985, S. 46). Yaşlandırma işlemi, sünek-gevrek geçiş sıcaklığını ( $T_g$ ) yükseltirken, homojenleştirme-fırında soğutma işlemi bu sıcaklığı düşürmektedir. Ticari ZA合金ları içinde en yüksek kırılma tokluğu ZA-27合金 ile elde edilmiş olup, bu değer homojenleştirme ve fırında soğutma işlemi ile daha da arttırmaktadır. ZA ticari合金ları ile bazı döküm合金larının (dökme demir, alüminyum合金ları) kırılma toklukları Tablo 5'de karşılaştırılmış olarak verilmiştir.



Şekil 5. ZA alaşımlarının çekme mukavemeti ve % uzama değerinin sıcaklıkla değişimi

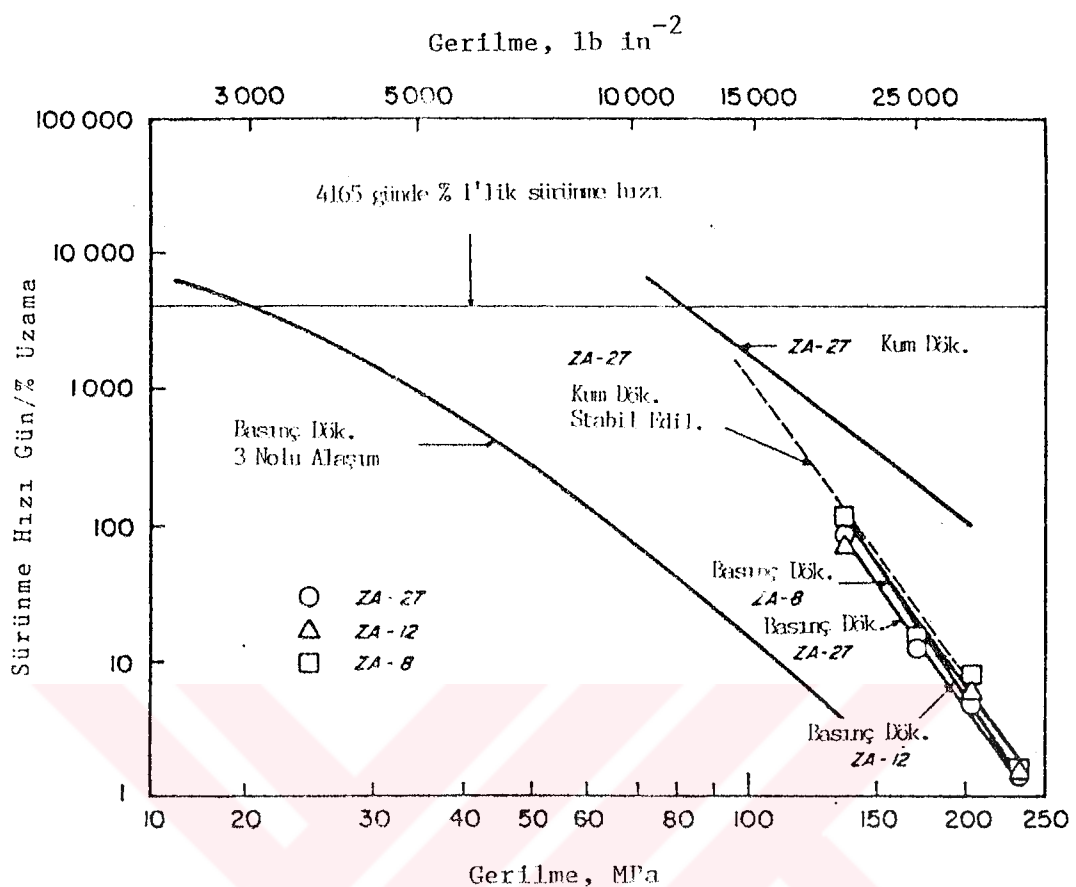
İkili çinko-alüminyum ve üçlü çinko-alüminyum-bakır alaşımlarının sürüünme (sünme) davranışları Savaşkan ve Murphy tarafından incelenmiştir (Savaşkan ve Murphy, 1982, S. 82). Söz konusu alaşımların ikincil sürüünme hızının  $\dot{\epsilon}_s = A\sigma^n \exp(-Q_c/RT)$  bağıntısı ile belirlenebileceği gösterilmiştir. Burada  $n=3$  ve  $Q_c=87$   $\text{kJ/mol}$  olarak bulunmuştur. Bu araştırma sonucunda, bakır katkılarının çinko-alüminyum alaşımlarının sürüünme direncini büyük ölçüde artttırdığı gözlenmiştir. Ayrıca, dökülmüş durumdaki ala-

Tablo 5 ZA alaşımaları ile bazı döküm alaşımalarının kırılma toklukları

Malzeme	Kırılma Tokluğu, Kıc (MPa/m <sup>2</sup> )
ZA-8 Kum Döküm	16
ZA-12 Kum Döküm	18
ZA-27 Kum Döküm	29
ZA-27(320°C'de 3 saat homojenleş- tirilmiş)	30-35
Alüminyum A357-T6	29
Alüminyum 2000/7000 Serisi	16-45
Dökme Demir C 30	15-30
Dökme Demir C 50	36-40

şimlerin ısal işlem görmüş alaşımlardan daha yüksek sürüünme dayanımı sergiledikleri görülmüş ve bu durum söz konusu alaşım- ların iç yapılarına dayandırılarak açıklanmıştır.

Ticari ZA-27 alaşımı için 20°C sıcaklıkta, 69 MPa olan tasarım(dizayn) gerilmesi, homojenleştirme işlemi sonrası 89 MPa'a yükselmektedir. Tasarımında kullanılan sürüünme gerilmesi, ASME'ye göre; 100.000 saatlik süre içerisinde ikincil sürüünme bölgesinde % 1'lik uzama meydana getiren gerilme değeri olarak tanımlanmaktadır( ASME Boiler and Pressure Vessel Code, 1977). Çinko esaslı alaşımaların oda sıcaklığındaki ikincil sürüünme hızlarının uygulanan gerilme değerine göre değişimi Şekil 6'da gösterilmektedir(Gervais ve diğ., 1985, S.47).



Şekil 6. ZA alaşımlarında sürtünme hızının gerilmeye göre değişimi

#### 1.4.4. Tribolojik Özellikler

Genel anlamıyla triboloji, hareketli yüzeyler arasındaki etkileşimi inceleyen bir bilim ve teknoloji dalı olarak tanımlanmaktadır. Sürtünme, aşınma ve yağlama gibi konuları içeren triboloji, makina mühendisliği, malzeme mühendisliği, fizik ve kimya gibi dalları yakından ilgilendirmektedir. Tribolojik çalışmaların amacı, hareketli yüzeyler arasındaki sürtünme ve aşınmayı minimuma indirerek enerji kayıplarını ve malzeme maliyetini düşürmek, aynı zamanda sistemin verimli ve güvenli bir şekilde çalışmasını sağlamaktır.

Gelişmiş ülkelerde triboloji'ye büyük önem verilmekte ve bu konudaki çalışmalara geniş mali kaynaklar sağlanmaktadır. A.B.D.'de 1977 yılında yapılan bir istatistiğe göre (Pinkus ve Wilcock, 1977) tribolojinin uygulama alanlarında kullanımı ve ge-

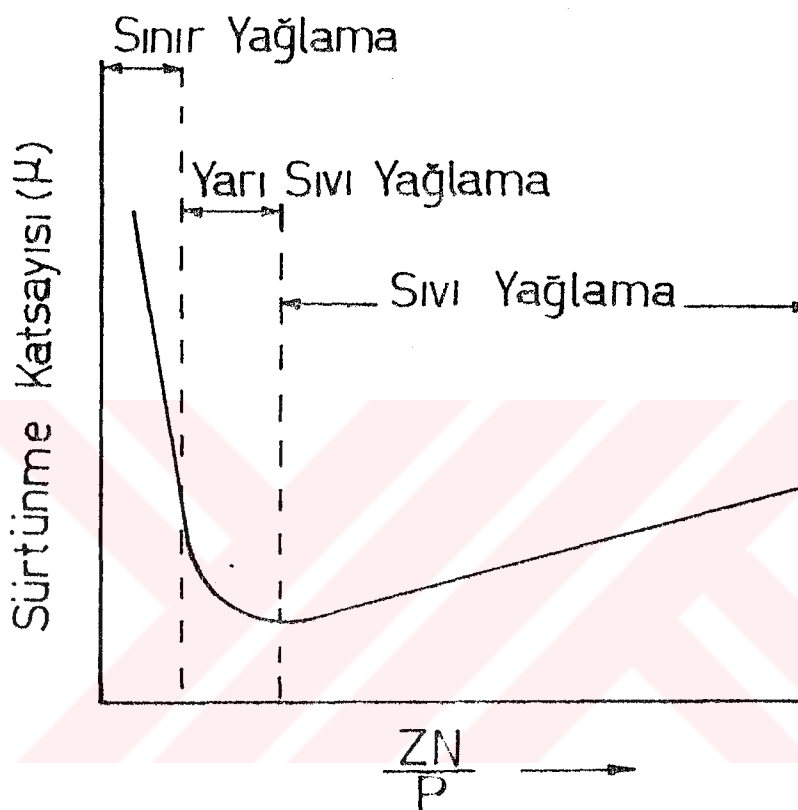
liştirilmesi sonucunda, toplam enerji tüketiminin % 11'i olan 16 milyar dolarlık bir tasarruf potansiyelinin gerçekleşeceği hesaplanmıştır. Bu program için hesaplanan araştırma ve geliştirme faaliyetlerinin toplam maliyeti ise sadece 24 milyon dolar düzeyindedir. Bu rakamlar, triboloji konusu ile ilgili araştırma ve geliştirme çalışmalarının ülke ekonomisine getireceği katkılar açısından dikkate değer niteliktedir.

Kalayın pahalı ve kısıtlı miktarda bulunan bir metal olması, kalay bazlı yatak alaşımaları için bir dezavantaj teşkil etmektedir. Bu nedenle, günümüzde yatak uygulamaları için, beyaz metal (Babbit), bronz, piriç gibi geleneksel yatak alaşımalarının yerini almak üzere, üstün tribolojik özelliklere sahip ekonomik ve üretimi kolay yatak alaşımaları üretilmeye çalışılmaktadır.

Yatak uygulamalarında yatak malzemesinin sürtünme katsayısi ( $\mu$ ) ile yatak parametreleri (ZN/P) arasındaki ilişki Stribeck diyagramında verilmiştir. Burada Z yağ viskozitesi, N yatağın dönmeye hızı, P ise uygulanan basınçtır. Şekil 7'de verilen tipik bir Stribeck eğrisi, sınır yağlama karışık yağlama ve sıvı (hidrodinamik) yağlama olmak üzere üç ana kısımdan oluşmaktadır. Sınır yağlama durumunda yüzeyde sadece birkaç yağ molekülünü içeren bir yağ filmi oluşmakta ve bu yağ tabakası yüzey pürüzlerini örtmek için yeterli olmamaktadır. Daha çok düşük hız ve yüksek basınçlarda görülen sınır yağlama durumunda ortaya çıkan metal-metal teması sürtünme katsayısının yükselmesine ve buna paralel olarak aşınma hızının artmasına neden olmaktadır.

Hidrodinamik (sıvı) yağlama durumunda, hareketli yüzeyler arasında tamamen bir yağ filmi oluşmakta ve teorik olarak metal-metal teması olmaması nedeni ile, barekete karşı direnç sadece yağlayıcı akışkanının kendi içindeki iç sürtünmeden kaynaklanmaktadır. Hidrodinamik yağlama bölgesinde sürtünme katsayısının düşük olması nedeni ile aşınma miktarı da düşük olmaktadır. Karışık yağlama, sınır yağlama ve hidrodinamik yağlama arasında bir geçiş bölgesi olup, elastohidrodinamik (EHD) yağlama ve mikro-elastohidrodinamik ( $\mu$ EHD) yağlama olmak üzere ikiye ayrılır. Bu yağlama durumunda, yük kısmen yağ filmi tarafından ve kısmende

yüzeyler arasında metal-metal teması vasıtası ile taşınmaktadır. Hidrodinamik yağ filminin oluşmadığı zamanlarda meydana gelen sınır ve karışık yağlama, hareketin ilk başlangıç ve durdurulması sırasında da ortaya çıkmaktadır.

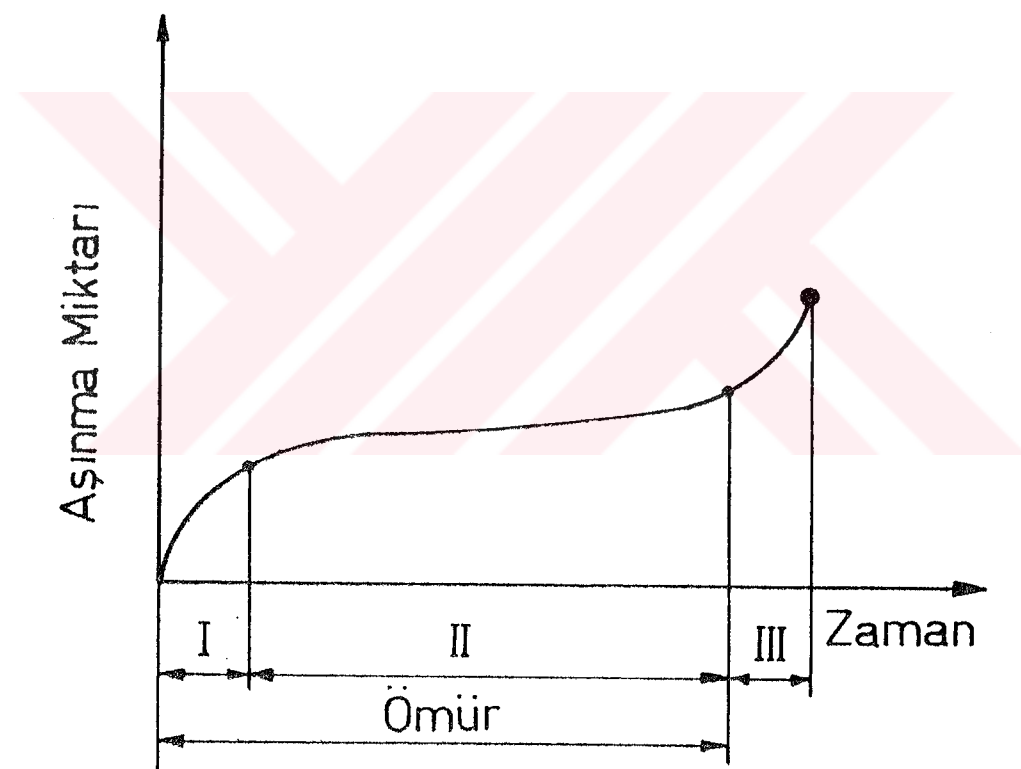


Şekil 7. Stribeck eğrisi

Yatak yüzeyleri, teknik bakımdan en iyi şekilde işlenmiş olsalar bile hiçbir zaman geometrik anlamda pürüzsüz değildir ve ilk çalışma anında yüzeyler arasındaki sürtünme teması, yüzey pürüzleri nedeni ile ancak birkaç noktada meydana gelmektedir. Bu noktalardaki basınç değerinin, malzemenin akma sınırının üzerine çıkması durumunda aşınma olarak adlandırılan malzeme kaybı meydana gelmektedir.

Stribeck eğrisi yağlama durumlarında, yatak malzemesinin sürtünme katsayısunun, yatak parametresine ( $ZN/P$ ) göre değişimiini göstermektedir. Yatak malzemesinin aşınma davranışları ise aşınma miktarı ile alınan yol, yada çalışma zamanı arasındaki de-

şimi gösteren eğriler yardımcıla belirlenmektedir. Malzemeler için aşınma miktarı ile alınan yol arasındaki ilişkiyi gösteren teorik aşınma eğrisi Şekil 8'de verilmiştir. Bu sekilden görüldüğü gibi eğri üç aşınma safhasından oluşmaktadır. Rodaj denilen ilk safhada yüzeyler ilk olarak birlikte çalışıkları için şiddetli bir aşınma meydana gelir. Bazı durumlarda imalatın bir safhası olarak sayılan bu devre, parçanın daha sonraki aşınma davranışını büyük ölçüde etkiler. Bu nedenle yatak yüzeylerinin düzgün ve pürüzsüz olması rodaj süresindeki aşınmayı önemli ölçüde azaltır.



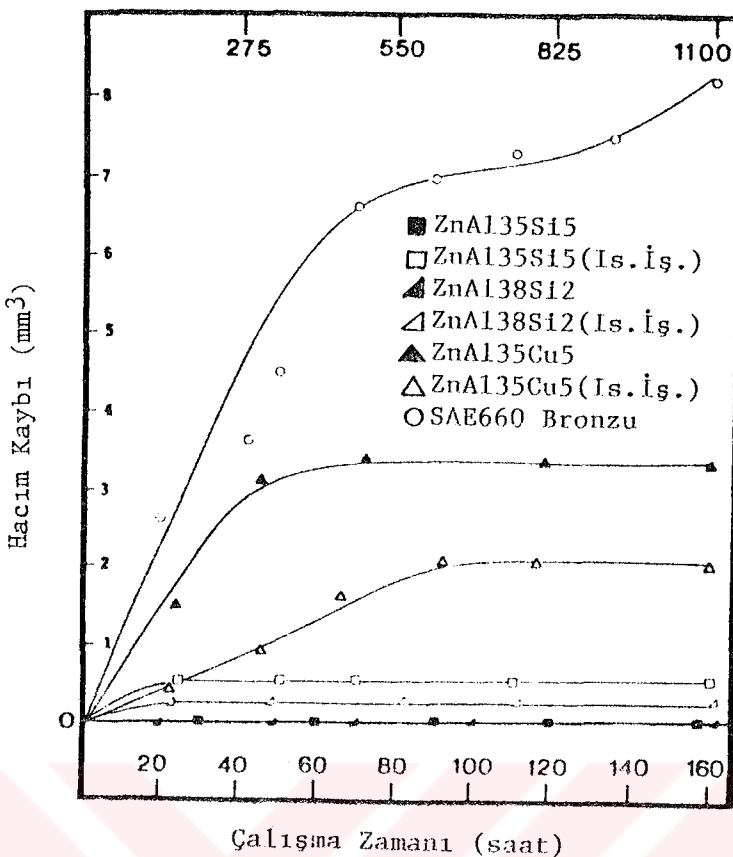
Şekil 8. Tipik bir aşınma eğrisi

Yatağın asıl çalışma ömrünü belirleyen ikinci bölgedeki aşınma hızı ise, rodaj safhasına göre daha düşük olup, sabit bir değere sahiptir. Üçüncü bölgede aşınma hızı aşırı ölçüde artarak yatağın yada milin hasara uğramasına neden olmaktadır. Bu nedenle, üçüncü aşınma bölgесine ulaşılınca yatağın ya değiştiril-

mesi yada bakıma alınması gereklidir. Stribeck ve aşınma eğrileri yardımıyla yatağın sağlıklı olarak çalışabileceği çalışma şartları ve aşınma sınırı belirlenebilir.

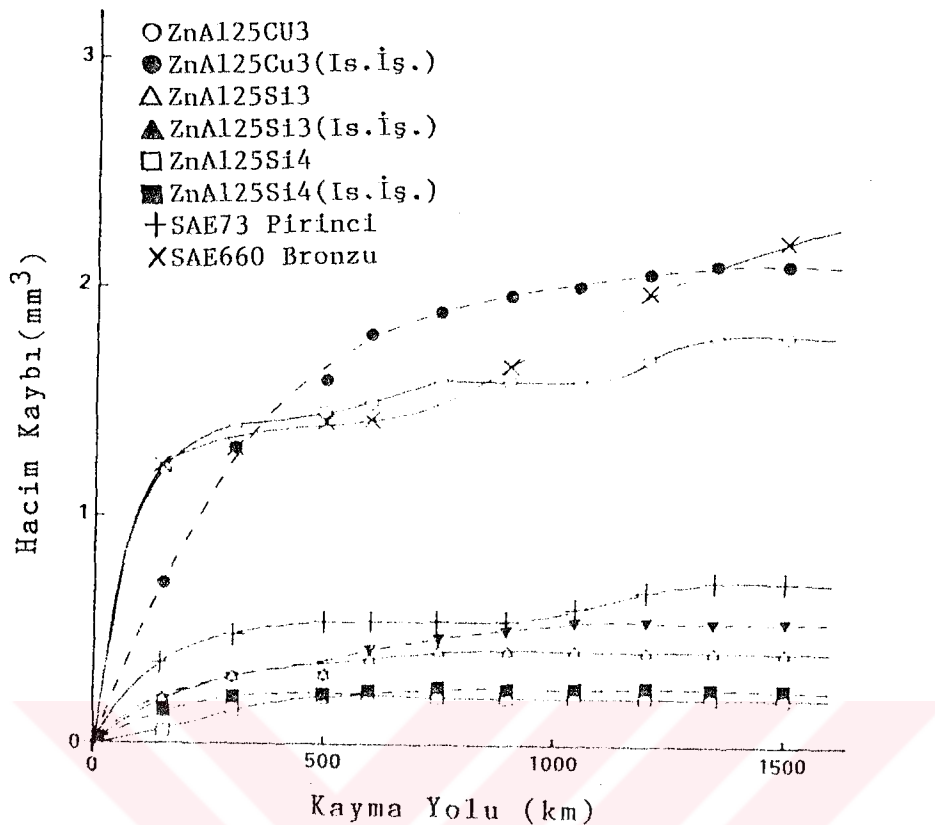
Çinko-alüminyum esaslı yatak alaşımlarının performans ve dizayn parametreleri, gerek laboratuvar deneyleri ve gerekse uygulama sırasında elde edilen verilerden yararlanılarak tayin edilmektedir. Yapılan araştırmalar, sözkonusu alaşımının geleneksel yatak malzemelerine göre daha üstün mekanik ve tribolojik özelliklere sahip olduğunu göstermiştir (Delneuville ve diğ., 1986, S.569). Bu alaşımının üstün tribolojik özellikleri, ideal iş yapısına ve aşınma yüzeylerinde çinko ve alüminyum oksitlerin oluşumuna dayandırılarak açıklanmaktadır (Marczak ve Ciach, 1973, S. 223). Sert alüminyum oksit tabakası yük taşıyıcı olarak görev yaparken, yumuşak olan çinko oksit tabakası ise kaymayı kolaylaştırmakta ve yetersiz yağlama durumunda bir yağlayıcı görevi yapmaktadır. Çinko esaslı alaşım yetersiz yağlama, aşırı yükleme gibi çalışma şartlarında başarılı bir şekilde kullanılmaktadır. Kalay esaslı yatak malzemelerinde sürtünme katsayısı 0,1 değerinde iken, bu değer çinko-alüminyum alaşımında 0,03-0,07 arasında yer almaktadır.

Savaşkan ve Murphy tarafından (Savaşkan ve Murphy, 1987, S. 70) yapılan incelemelerde, bakır yada silisyum içeren çinko-alüminyum alaşımının pırıngı ve bronzdan daha üstün aşınma davranışını sergiledikleri belirlenmiştir. Aşınma dayanımını iyileştirmede, silisyumun bakırdan daha etkili olduğu gözlenmiştir. Bu durum, yumuşak çinko-alüminyum matriksi içerisinde dağılmış yük taşıyan sert silisyum parçacıklarının varlığına dayandırılarak açıklanmıştır (Savaşkan ve diğ., 1987, S. 88). Düşük oranlarda silisyum yada bakır içeren üçlü monotektoid esaslı alaşım ile SAE 660 bronzunun karşılaştırılmış aşınma eğrileri Şekil 9'da verilmiştir. Silisyum içeren alaşım gereklilikte dökülmüş ve gerekse ıslık işlem görmüş durumda ( $350^{\circ}\text{C}$ 'da çözündürme ve su verme sonrası  $175^{\circ}\text{C}$  sıcaklıkta 6 saat yaşlandırma) en yüksek aşınma direnci sergilemişlerdir. Ayrıca, silisyum fazının dağılım biçiminin de alaşımın aşınma davranışını etkilediği görülmüştür.



Şekil 9. Monotektoid esaslı合金ların aşınma diyagramı

Ötektoid esaslı üçlü Zn-Al-Cu ve Zn-Al-Si合金larından, monotektoid合金lardan daha düşük aşınma dayanımı sergilemekle birlikte, SAE 73 pirinci ve SAE 660 bronzundan daha yüksek aşınma direğine sahip oldukları gözlenmiştir (Savaşkan ve Murphy, 1986, S. 223). Çinko-alüminyum esaslı ötektoid合金lar ile aynı şartlarda denenen pirinç ve bronz ait aşınma eğrileri (aşınma miktarı-alınanyol) Şekil 10'da verilmiştir. Eğrilerden görüldüğü gibi, en düşük aşınma hızı yada en düşük aşınma miktarı silisyum içeren üçlü合金lar ile elde edilmiştir. Bu durum, silisyum içeren üçlü合金ların, aşınmaya karşı diğer合金lardan daha dayanıklı olduğunu göstermektedir. Aynı çalışmada, ayrıca 150°C sıcaklıkta uygulanan 10 günlük yaşlandırma işleminin (stabilizasyon)合金ların aşınma davranışını olumsuz yön-



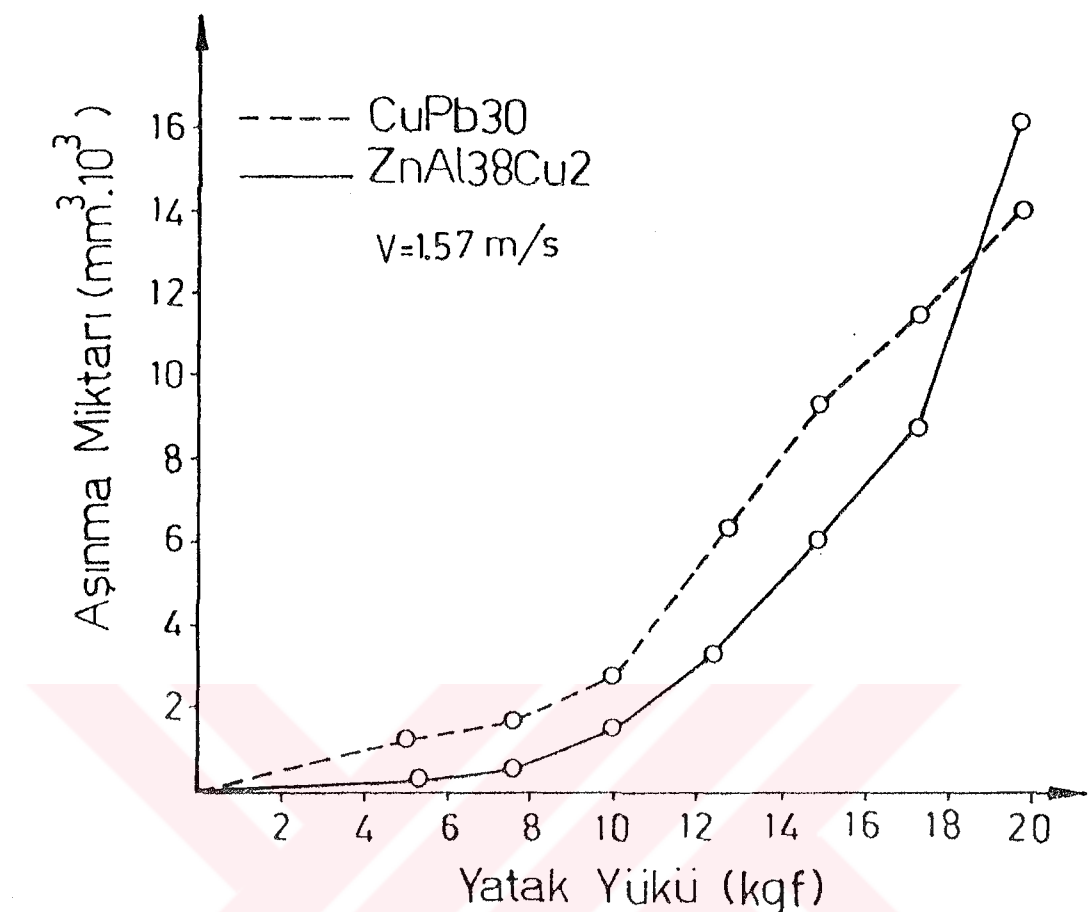
Şekil 10. Ötektoide esaslı üçlü alaşımının aşınma diyagramı  
de etkilediği gözlenmiştir.

Marczak ve Ciach tarafından (Marczak ve Ciach, 1973, s. 226) yapılan araştırmalar, 175 N'dan daha düşük yüklerde çalışan üçlü ZnAl138Cu2 monotektoid alaşımının, CuPb30 bronzundan daha üstün aşınma davranışını sergilediğini göstermiştir. Söz konusu alaşımarda meydana gelen aşınma miktarının uygulanan yüze göre değişimini gösteren eğriler Şekil 11'de verilmiştir.

### 1.5. Çinko-Alüminyum Alaşımının Uygulama Alanları

Günümüzde çinko-alüminyum esaslı alaşımalar, genellikle düşük hız ve yüksek yüklü kaymalı yatak uygulamalarında yaygın olarak kullanılmaktadır. Söz konusu alaşımalar, yatak uygulamalarından başka pek çok mühendislik alanlarında kullanılmaktadır.

Çinko-alüminyum esaslı alaşımalar genel olarak, madencilikte kullanılan düşük hızlı araçlara ait kaymalı yataklarda, kab-



Şekil 11. CuPb30 ve ZnAl38Cu2合金larında meydana gelen aşınmanın uygulanan yükle göre değişimi

olu kren, iş makineleri, vites kutusu, torna tezgahı, taş kırma makinesi yataklarında, hidrolik kaldırma silindirlerinde, maden direklerinde piston olarak, hidrolik sistemlerde, biyel kollarında, kayıcı pabuçlarda, su pompalarında, matbaa makinelerinde, havalı ve tarımsal makinalarda, tekstil sanayii ve otomobil sanayii gibi birçok mühendislik alanında gittikçe artan oranda kullanılmaktadır. Bu合金lar kaymamış yatak uygulamalarında yatağın ana gövdesi olarak imal edilebildikleri gibi, yatak burcu biçiminde de yatak taşıyıcısına soğuk pres geçme ile monte edilebilirler.

Yapılan araştırmalar, uygulamada bronzların yerine kullanılan çinko-alüminyum esaslı合金ların hem maliyet hemde performans bakımından çok daha üstün olduklarını göstermiştir (Risdon ve Barnhurst, 1987, S. 1404). Lokomotifte kullanılan C93500

bronzundan imal edilen yatak normal olarak 18-24 aylık çalışma zamanı sonunda aşırı aşınma nedeniyle değiştirilirken, bunun yerine kullanılan ZA-12 alaşımından üretilmiş yataktaki 20 aylık bir çalışma süresi sonunda önemli bir aşınma izine rastlanmamıştır (Barnhurst ve dig., 1987, S.1404).

Yapılan inceleme ve araştırmalar, çinko-alüminyum esaslı alaşımlardan üretilen yatakların tasarım ve imalatında aşağıdaki faktörlerin gözönünde bulundurulması gerektiğini göstermiştir:

- a) Köşe basıncını önlemek için yatak uzunluğu yatak çapının 1.5 katından fazla olmamalıdır.
- b) Cidar kalınlığı mil çapının en az % 5'i kadar olmalıdır.
- c) Bronz yataklar için geçerli olan toleranslar, oda sıcaklığında çinko esaslı alaşımalar içinde geçerlidir. Ancak yüksek sıcaklıklarda daha geniş toleransın verilmesi gereklidir.
- d) Tüm uygulamalar için kayma hızı 7 m/s'nin altında olmalıdır.
- e) Çinko-alüminyum esaslı yatak malzemeleri bazı kaymamış yatak malzemelerine göre biraz daha sert olduğundan, mil sertliğinin en az 150 BSD olması gereklidir.
- f) Korozyon yapıcı sıvılarla temas halinde olan yataklar için pH değeri 6.5-12.5 arasında olmalıdır.

#### 1.6. Literatür Özeti ve Çalışmanın Amacı

Yapılan araştırmalar sonucunda, çinko-alüminyum esaslı alaşımaların pekçok bakımından (ekonomik, tribolojik ve mekanik özellikler) geleneksel yatak alaşımlarından daha üstün olduğu görülmüştür. Bu nedenle, bu alaşımaların yatak uygulamalarında, geleneksel yatak malzemelerinin yerine başarılı bir şekilde kullanılabileceği belirlenmiştir. Günümüzde çinko-alüminyum esaslı alaşımaların hem maliyet ve hemde performans bakımından birçok uygulamada bronz, pirinç ve dökme demir gibi geleneksel yatak malzemelerinden daha avantajlı olduğu görülmektedir. Çinko-alüminyum esaslı yatak alaşımalarının kullanımını kısıtlayan faktörlerin başında, yüksek sıcaklıklarda mukavemet değerlerinde görü-

len düşme ve özellikle bakır içeren alaşımında ortaya çıkan boyutsal kararsızlık gelmektedir. Bu nedenle, söz konusu alaşımın çalışma sıcaklığının  $120^{\circ}\text{C}$ 'ın altında tutulması tavsiye edilmektedir (Cavais ve diğ., 1985, S. 47). Bakır içeren üçlü Zn-Al-Cu alaşımlarında görülen boyutsal kararsızlık problemi, uygun ıslıl işlemelerle giderilebilir. Ancak uygulanan uzun süreli stabilizasyon işlemi söz konusu alaşımın mukavemetini bir miktar düşürmektedir. Son zamanlarda geliştirilen üçlü Zn-Al-Si alaşımının, aşınma dayanımı bakımından Zn-Al-Cu alaşımından daha üstün olduğu görülmüştür. Ancak silisyum içeren alaşımın mukavemet değerlerinin, bakırlı alaşımlara göre daha düşük olması, araştırmacıları uygun bileşim oranının belirlenmesi çalışmalarına yöneltmiştir.

Bu çalışmanın amacı, çinko-alüminyum esaslı yüksek mukavemet ve aşınma direncine sahip yeni yatak alaşımını geliştirmektir. Bunun için, çinko-alüminyum esaslı bakır ya da silisyum içeren bir dizi ikili, üçlü ve dörtlü alaşım üretilecek ve bunların iç yapı ve mekanik özelliklerini dökülmüş ve ıslıl işlem görmüş durumlarda incelenecektir. Ayrıca, üretilen alaşımın aşınma davranışını, laboratuvara imal edilen yeni bir aşınma düzeneği yardımıyla incelenerek bulunan sonuçlar değerlendirilecektir. Böylece, kaymamış yatak uygulamaları için en uygun kimyasal bileşim, ıslıl işlem ve çalışma şartları belirlenmeye çalışılacaktır.

## 2. DENEYSEL ÇALIŞMA

### 2.1. Alaşımaların Üretimi, Kimyasal Bileşimlerinin Tayini ve Isıl İşlemler

Bu çalışmada, beş tane ikili çinko-alüminyum, dokuz adet üçlü çinko-alüminyum-bakır, bir adet üçlü çinko-alüminyum-silisyum ve bir adet dörtlü çinko-alüminyum-bakır-silisyum alaşımı, kokil döküm yöntemi ile üretildi. Alaşımaların üretiminde yüksek saflıkta çinko (% 99.99) elektrolitik bakır (% 99.99) ve ticari saflıkta alüminyum (% 99.7) kullanıldı. Silisyum içeren üçlü alaşımalar için Etial-140(AlSi12) alaşımı ve bakır içeren üçlü alaşımalar için de intermetalik bakır-alüminyum alaşımı (Al Cu50) kullanıldı. Ergitme işlemi sıcaklık kontrollü elektrikli bir pota fırını içerisinde gerçekleştirildi. Ergitilen alaşımalar, kimyasal bileşim oranına göre  $650\text{-}700^{\circ}\text{C}$  sıcaklık aralığında uygun bir döküm sıcaklığından,  $250^{\circ}\text{C}$ 'a kadar ısıtılmış kokil bir kalıba dökülderek katılaştırıldı. Kokil kalıp yönlendirilmiş katılımayı ve beslemeyi sağlamak için konik bir şeke sahip olup  $\varnothing 45 \times 60 \times 200$  mm. boyutlarında imal edildi. Döküm sonrası dökülen parçanın üst kısmında çekilde boşluğu içeren 50 mm. lik kısım kesilerek atıldı. Üretilen alaşımaların kimyasal bileşimlerinin belirlenmesinde gravimetrik ve volümetrik analiz yöntemleri kullanıldı. İkili Zn-Al alaşımalarında çinko, amonyum civa sülfosiyanürle gravimetrik olarak çöktürüldü ve  $\text{ZnHg}(\text{SCN})_4$  halinde sabit tartıma getirilerek miktarı hesaplandı. Üçlü Zn-Al-Cu alaşımalarında bakır, gravimetrik olarak  $\text{CuS}$  halinde çöktürüülüp yakıldıktan sonra  $\text{HNO}_3$ 'de çözüldü ve İyometrik Titrasyon yöntemiyle miktarı tayin edildi.

Bu çalışmada, dökümle üretilen alaşımlara iki türlü işlem uygulandı. Bunlardan biri kararlı bir iç yapı elde etmek amacıyla aşınma numunelerine uygulanan stabilizasyon işlemi olup, bu işlem, alaşımaları  $150^{\circ}\text{C}$  sıcaklıkta 10 günlük bir süre yavaşlandırarak gerçekleştirildi. Kademeli olarak yapılan ikinci tür isıl işlemde, alaşımalar önce  $350^{\circ}\text{C}$  sıcaklıkta 48 saatlik bir süre homojenleştirme işlemine tabi tutuldu. Bu işlemden sonra alaşımaların bir kısmı fırında soğutuldu, diğer kısmına ise su verildikten sonra  $150^{\circ}\text{C}$  sıcaklıkta 2 saatlik bir süre yaşlandırıldı. Isıl işlemler elektrikle çalışan tav fırınlarında  $\pm 5^{\circ}\text{C}$ 'lik bir hassasiyetle gerçekleştirildi.

## 2.2. İçyapı İncelemeleri

İçyapı incelemeleri için gerek dökülmüş ve gerekse ısil işlem görmüş durumdaki alaşımlardan alınan numuneler, standart metalografi yöntemi ile hazırlanıktan sonra % 5'lük Nital (alkol-% 5 nitrik asit) içerisinde dağılandı. Dağlanan numuneler ışık mikroskopunda inceLENEREK, içiyapıyı gösteren fotoğraflar çekildi.

## 2.3. Mekanik Deneyler

### 2.3.1. Çekme Deneyi

Üretilen alaşımlardan talaşlı imalat yöntemi ile TS 138-A standardına uygun çekme numuneleri hazırlandı. Çekme deneyleri  $13 \times 10^{-2}$  mm/sn.'lik sabit bir çekme hızında gerçekleştirilecek söz konusu alaşımların çekme dayanımları ve % kopma uzaması değerleri belirlendi.

### 2.3.2. Sertlik Deneyi

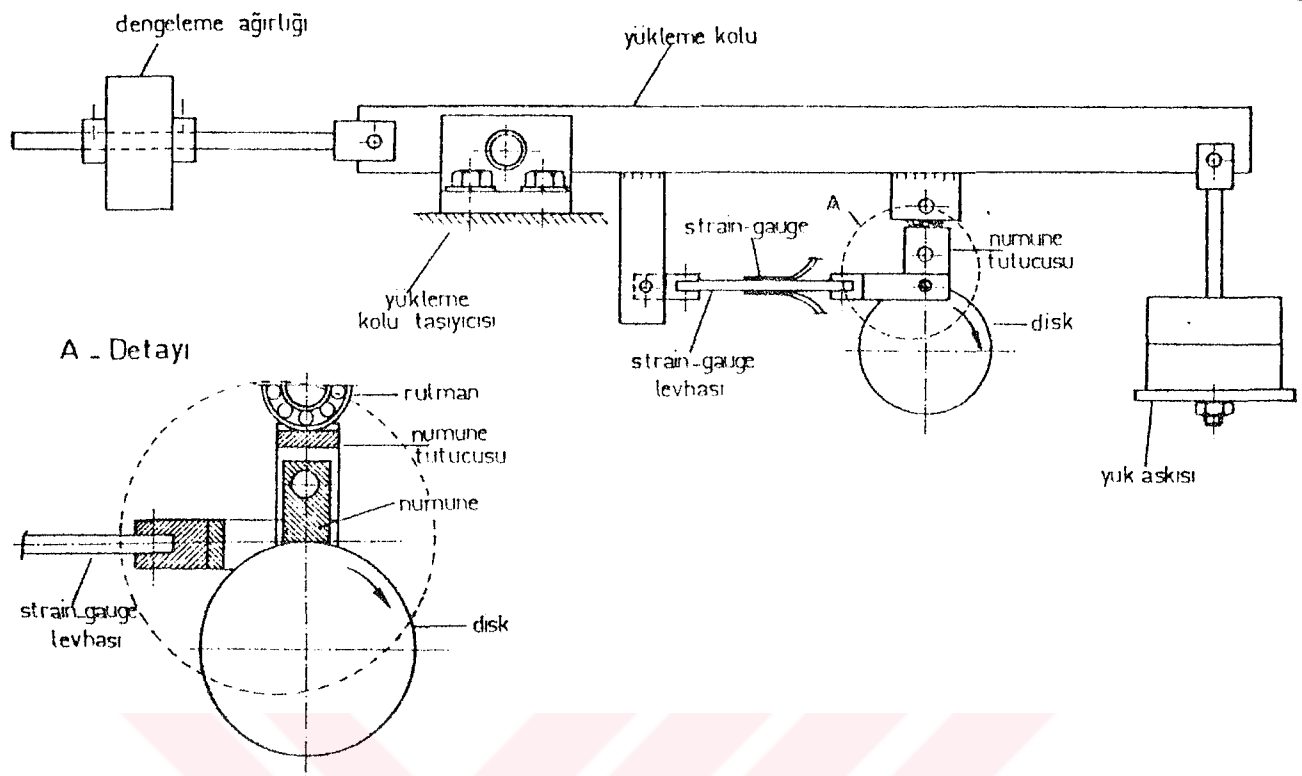
Alaşımlardan alınan numuneler, talaşlı imalat yöntemi ile yüzeyleri paralel olacak şekilde işlendikten sonra parlatıldı. Sertlik ölçümleri Brinell sertlik ölçme yöntemi ile (BSD 5 P=31.25 kg, D=2.5 mm.) gerçekleştirildi. Her numune üzerinde beş sertlik ölçümü yapılarak elde edilen değerlerin ortalaması alındı.

## 2.4. Yoğunluk Ölçümleri

Alaşımların yoğunluklarını tayin etmek için talaşlı imalat yöntemi ile işlenen numunelerin boyutları bir mikrometre yardımıyla hassas bir şekilde ( $\pm 0.01$  mm) ölçülerek hacimleri hesaplandı. Numuneler hassas bir terazide ( $\pm 0.01$  mg.) tartıldıktan sonra alaşımların yoğunlukları belirlendi.

## 2.5. Aşınma Deney Düzeneğinin Konstrüksiyonu ve Özellikleri

Alaşımların aşınma davranışlarının belirlenmesi için laboratuarda pin-disk esaslı (pin-on disc) yeni bir aşınma deney düzeneğinin konstrüksiyon ve imalatı gerçekleştirildi. Konstrüksiyon yapısı Şekil 12'de gösterilen aşınma deney düzeneği, 3 kW gücündeki bir elektrik motoru, iki adet rulmanlı yatak, kavramı mil, disk, yükleme kolu, dengeleme ağırlığı ve yağlama sistemi gibi elemanlarından oluşmaktadır.

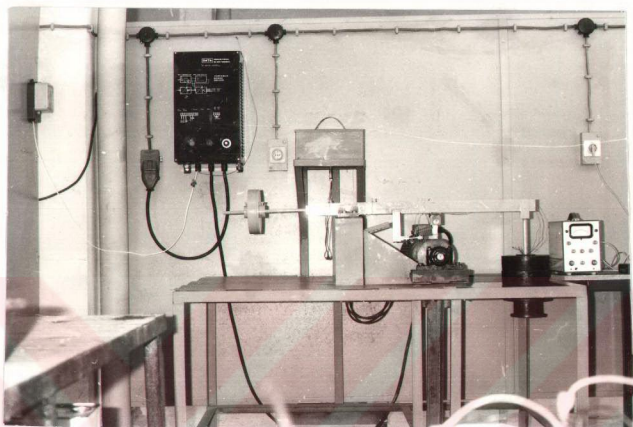


Şekil 12. Aşınma deney düzeneğinin şematik resmi

Düzenekte kullanılan disk, bir kaymалı yatak ünitesinde mili, numune ise yatağı temsil etmektedir. Motorun devir sayısı sisteme monte edilen bir hız kontrol ünitesi ile kontrol edilmektedir. Yükleme işlemi, numune tutucusunun bağlı olduğu yükleme kolunun ucuna ağırlıklar asmak suretiyle gerçekleştirilmektedir. Yükleme kolu bir perno ile yataklanmış olup üzerindeki dengelme ağırlığı vasıtası ile dengelenmektedir. Şekil 13'teki fotoğrafta aşınma deney düzeneğinin genel bir görünümü yer almaktadır.

Sürtünme kuvvetini ölçmek için, numune tutucusu ile sabit mesned arasına monte edilen, 4X20X90 mm. boyutundaki bir alüminyum levhanın alt ve üst yüzeylerine iki adet aktif uzama ölçer (strain-gauge) yerleştirildi. Daha sonra bu aktif strain-gaugeler diğer iki pasif strain-gauge ile tam köprü yapılarak, gösterici (algılayıcı) devresine bağlandı. Numunenin disk üzerinde çok küçük mikardaki ileri-geri hareketine en az dirençle izin verebilmek için, numune tutucusunun üzerine bilyalı bir rulman yerleştirildi. Konstrüksiyon sırasında, rulman, numune

ve disk eksenleri çakıstırılarak numune yüzeyinin diske tam teması sağlandı ve temas durumu deney sırasında sürekli olarak korundu.



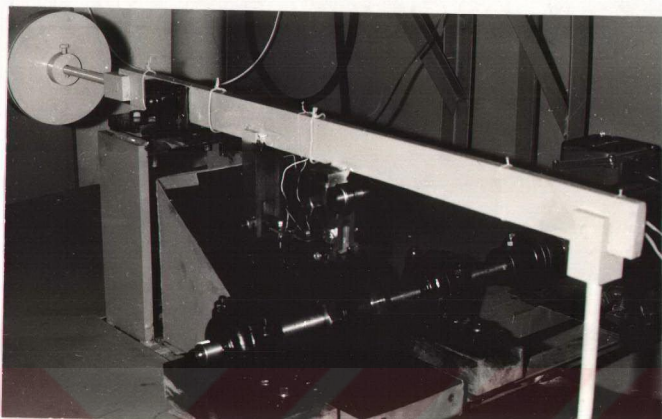
**Sekil 13.** Aşınma deney düzeneğinin görünümü

SAE 1070 çeliğinden imal edilen 150 mm. çapındaki disk sertleştirme (su verme) işlemi sonrası  $150^{\circ}\text{C}$ 'da 2 saatlik bir süre menevişlenerek 40RSD-C sertlik değeri elde edildi. Bu işlem sonrası  $\varnothing 149.6 \pm 0.05$  mm toleransında taşlanan disk yüzeyi daha sonra 600 numaralı zımpara ve  $0.5 \mu\text{m}$  alümina ile parlatıldı. Şekil 14'deki fotoğrafta disk ve numunenin yakından görünümü yer almaktadır.

Bütün deneyler 5 MPa'lık basınç altında ve 300 dev/dk.'lık ( $V=2.35 \text{ m/s}$ ) sabit devir sayısında yapıldı. Yağlama işlemi,  $2 \text{ cm}^3/\text{saat}$ lik sabit akış hızında gerçekleştirildi. Bunun için, yüksek bir yere yerleştirilen yağ deposundan ince bir hortum yardımıyla alınan yağ, bir debi ayarlayıcısından geçirildikten sonra disk üzerine damlatıldı. Her deney için SAE 20W/50 numuna uygun dört mevsim motor yağı kullanıldı.

## 2.6. Aşınma Deneyleri

Alaşımlardan  $9.7 \times 14.7 \times 32$  mm boyutunda talaşlı imalat yöntemi ile hazırlanan aşınma numunelerinin temas yüzeyi, disk üzerin-



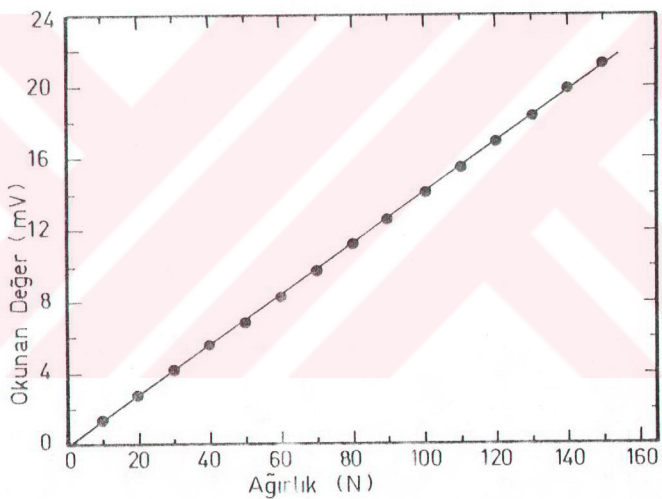
Şekil 14. Aşınma düzeneğine ait disk ve numunenin yakından görünümü

de uyumlu bir şekilde çalışabilmesi için iç çapı  $149.6 \pm 0.05$  mm olan bir kalıpta işlendi ve işlenen yüzey daha sonra 600 numaralı ince zımpara ve  $0.5 \mu\text{m}$ 'lik alüminya kullanılarak parlatıldı.

Aşınma deneylerine başlamadan önce, numuneler ultrasonik bir temizleyici yardımıyla kimyasal çözücüler (karbontetraklorür trikloretilen, aseton-alkol) içerisinde temizlendi ve 0.01 mg. hassasiyetindeki bir terazide tartılarak ağırlıkları belirlendi. Numuneler, sonradan deney düzeneğindeki numune tutucusuna yerleştirilerek gerekli deney şartları ayarlandı. Aşınma miktarını belirlemek için 175 km.'lik yola karşılık gelen her 20.45 saatlik çalışma süresi sonunda nüfus yerinden alınıp, kimyasal çözücüler içerisinde temizlendikten sonra tekrar tartılarak ağırlık kaybı belirlendi. Bu işleme, toplam alınan yol 1050 km.'ye ulaşınca kadar devam edildi. Yatak uygulamalarında mil ile yatak arasında aşınma sonucu oluşan boşluk, genelde hacim kaybı olarak ifade edildiğinden, ölçülen ağırlık kayipları alaşımların yoğunluklarına bölünerek, aşınma ile ortaya çıkan hacim kayipları belirlendi.

Sürtünme kuvvetinin belirlenmesinde uzama ölçerler (strain-

gauge) ile bir uzama algılayıcısı (strain-indicatör) kullanıldı. Deneylere başlamadan önce, strain-gauge yerleştirilen ölçme levhasına belirli ağırlıklar asılarak levhanın kuvvet-elastik uzama davranışını gösteren bir kalibrasyon doğrusu elde edildi. Bulunan kalibrasyon doğrusu yardımıyla deney sırasında numune yüzeyi ile disk arasında ortaya çıkan sürtünme kuvveti ( $F_s$ ) belirlendi ve  $\mu = F_s/F_n$  bağıntısından da alaşımaların sürtünme katsayıları hesaplandı. Göstericiden okunan sinyal değerinin uygulanan yükleğin değişimini gösteren kalibrasyon doğrusu Şekil 15'de verilmiştir.



Şekil 15. Uzama ölçer (strain-gauge) için kalibrasyon doğrusu

Aşınma deneyi sırasında numunelerin sıcaklığı demir-kontaktan'dan yapılan bir termo eleman çifti (termokupl) ile birlikte kullanılan bir sıcaklık göstericisi (sıcaklık-ölçer) yardımıyla ölçüldü. Sıcaklık ölçümleri için, termokupl, numunenin aşınma yüzeyinin 2 mm. yukarısında açılan bir deliğe yerleştirilerek numune sıcaklığının çalışma süresi ile değişimi belirlendi.

### 3. DENEY SONUÇLARI (BULGULAR)

#### 3.1. Kimyasal Analiz Sonuçları

Alaşımaların kimyasal bileşimleri gravimetrik ve volümetrik analiz yöntemleri ile belirlenerek sonuçlar Tablo 6'da verilmiştir. Analiz sonuçlarının, döküm öncesindeki bileşim oranlarına yakın olduğu görülmüştür.

Tablo 6 Alaşımaların Kimyasal Bileşimleri

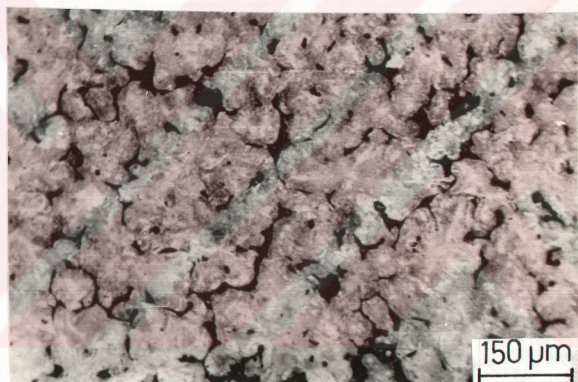
No	Kimyasal Bileşim, % Ağırlık			
	Zn	Al	Cu	Si
1	77.4	22.6	--	--
2	59.8	40.2	--	--
3	39.6	60.4	--	--
4	25.1	74.9	--	--
5	15.3	84.7	--	--
6	75.7	21.3	3.0	--
7	37.6	59.2	3.2	--
8	16.7	80.4	2.9	--
9	57.4	41.6	1.0	--
10	57.7	40.2	2.1	--
11	57.1	39.9	3.0	--
12	55.8	40.2	4.0	--
13	69.7	28.4	1.9	--
14	57.1	40.9	2.0	--
15	56.6	41.5	--	1.9
16	55.5	40.7	1.9	1.9

#### 3.2. Alaşımaların İçyapıları

Çinko-alüminyum esaslı tüm alaşımaların içyapıları, gerek dökülmüş ve gerekse ıslık işlem görmüş durumda, ıslık mikroskopu yardımıyla incelendi. Ancak, bu tezde yalnız aşınma deneyine tabi tutulan alaşımaların içyapı görüntülerine yer verildi.

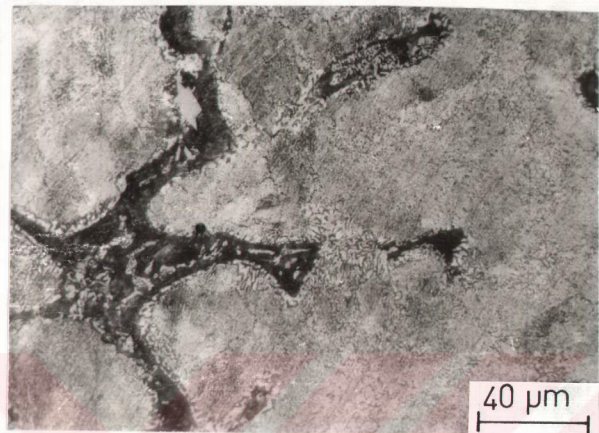
Ötektoid esaslı üçlü ZnAl25Cu2 alaşımı, dökülmüş durumda alü-

minyumca zengin göbekli  $\alpha$  dendritleri ile bunların etrafını saran çinkoca zengin  $\eta$  fazı ve kalıntı  $\beta$  fazının dönüşüm ürünlerini içeren bir içyapı sergilemiştir. Aynı yapının dendritleri arasında kalan bölgelerde ayrıca bakırca zengin metastabil  $\Sigma$  ( $CuZn_4$ ) fazının yer aldığı gözlenmiştir. Bu içyapının bir görüntüsü Şekil 16'da verilmiştir. Aynı alaşımın göbekli  $\alpha$  dentritleri arasında yer alan kalıntı  $\beta$  fazı, stabilizasyon işlemi sırasında çinko ve alüminyumca zengin fazlara ( $\alpha$  ve  $\eta$ ) dönüşerek daha kaba görünlü parçacıklar oluşturmuştur. Uygulanan stabilizasyon işlemi sonunda oluşan içyapının bir görüntüsü Şekil 17'de verilmiştir.

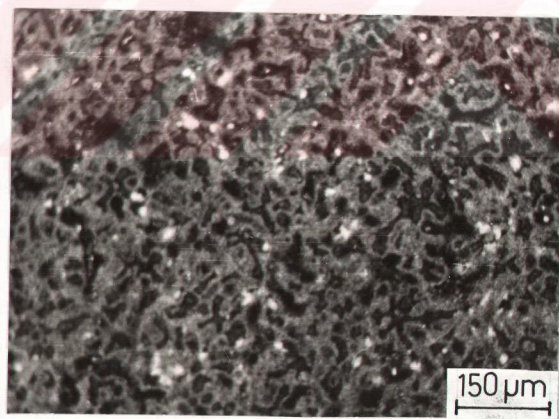


Şekil 16. ZnAl25Cu2 alaşımının dökülmüş durumındaki içyapısı

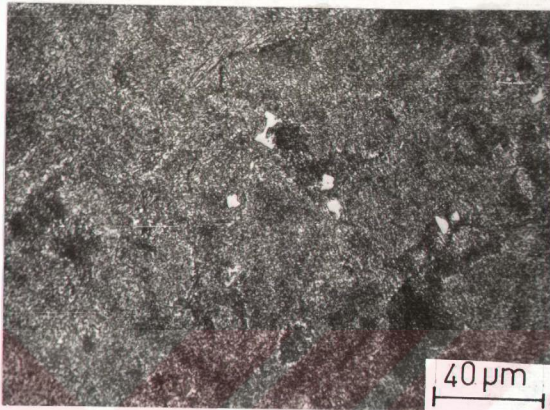
Üçlü monotektoid alaşımın ( $ZnAl40Cu2$ ) dökülmüş durumındaki içyapısı Şekil 18'de görüldüğü gibi, alüminyumca zengin geniş  $\alpha$  dendritleri ile bunları çevreleyen çinkoca zengin  $\eta$  ve  $\Sigma$  ( $CuZn_4$ ) fazlarından oluşmaktadır. Bu alaşımın göbekli dendritik yapısı stabilizasyon işlemi sonunda ortadan kalkarak, yerini alüminyumca zengin bir matriks içerisinde homojen olarak dağılmış, küçük boyutlu çinkoca zengin fazlardan oluşan bir içyapı almıştır. Bu yapının bir görüntüsü Şekil 19'da verilmiştir.



Şekil 17. Stabilize edilmiş ZnAl25Cu2合金ının iç yapısı



Şekil 18. ZnAl40Cu2合金ının dökülmüş durumındaki iç yapısı

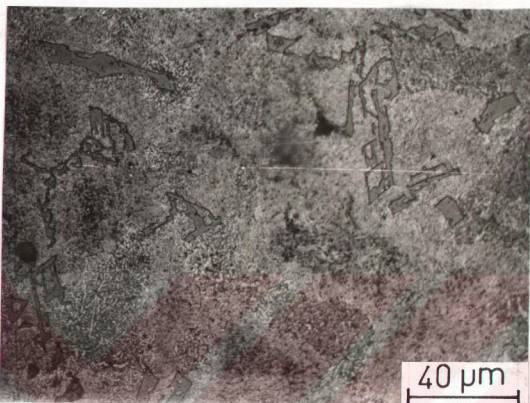


Şekil 19.  $ZnAl40Cu2$  alaşımının stabilize edilmiş durumda iç yapısı

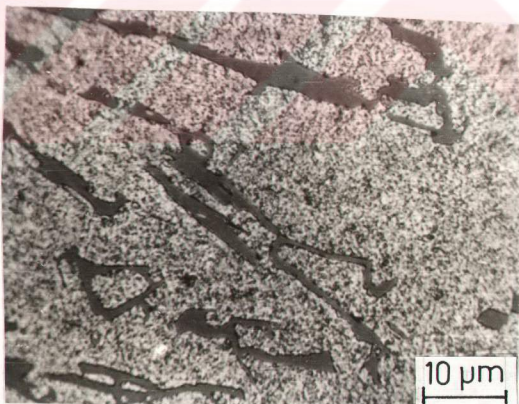
Silisyum içeren monotektoid esaslı üçlü alaşımın ( $ZnAl40Si2$ ) dökülmüş durumda iç yapısının alüminyumca zengin göbekli  $\alpha$  dendritleriyle, dendritlerarası bölgelerde yer alan çinkoca zengin  $\eta$  fazı ve silisyum parçacıklarından olduğu gözlenmiştir. Bu yapının görüntüsü Şekil 20'de verilmiştir. Stabilizasyon işleminin, silisyum parçacıklarının dağılımı ve boyutu üzerinde pek etkili olmadığı ancak,  $\alpha$  dendritleri arasındaki bölgelerde  $\beta$  fazının dönüşüm ürünlerini olan lamellerden başka, kaba taneler içeren bir yapı oluşturduğu gözlenmiştir. Stabilize edilmiş alaşımın iç yapısının bir görüntüsü Şekil 21'de verilmiştir.

Dörtlü  $ZnAl40Cu2Si2$  alaşımının dökülmüş durumda iç yapısı, aynı durumda bakır yada silisyum içeren üçlü alaşımların iç yapılara benzemekte, ancak bu alaşımın iç yapısında hem silisyum parçacıkları hemde bakırca zengin fazların yer aldığı gözlenmiştir. Bu yapının bir görüntüsü Şekil 22'de verilmiştir. Stabilizasyon işlemi sonunda,  $\alpha / \beta$  tane sınırlarında nisbeten büyük boyutlu dönüşüm ürünlerinin olduğu gözlenmiştir. Söz konusu yapı Şekil 23'de verilmiştir. Şekilden görüldüğü gibi silisyum parça-

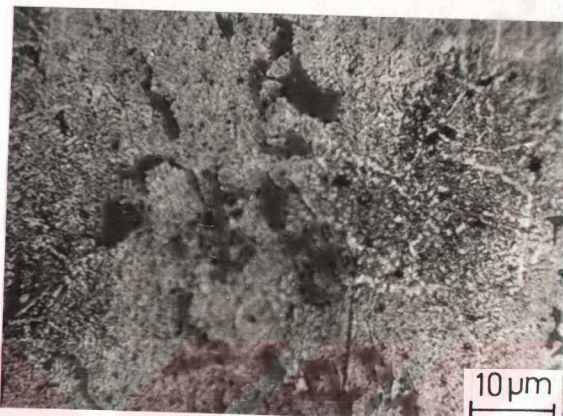
cıkları yapıda hem birincil (primer) hemde ötektik silisyum olarak yer almaktadır.



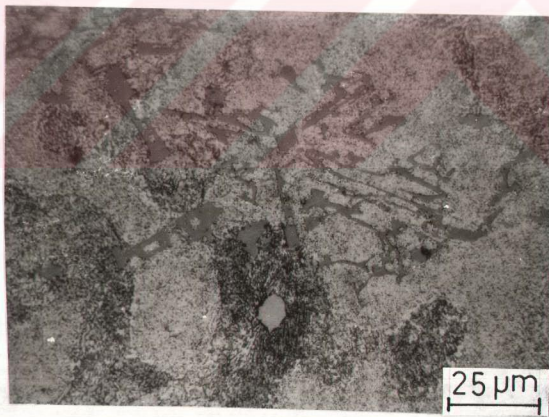
Şekil 20. ZnAl4Si2 alaşımının dökülmüş durumdaki iç yapısı



Şekil 21. ZnAl4Si2 alaşımının stabilize edilmiş durumdaki iç yapısı



Şekil 22. ZnAl40Cu2Si2 alaşımının dökülmüş durumda iç yapısı



Şekil 23. ZnAl40Cu2Si2 alaşımının stabilize edilmiş iç yapısı

### 3.3. Mekanik Deney Sonuçları

Çekme deneyi ve sertlik ölçümleri sonucunda alaşımlardan, değişik durumlarda elde edilen mukavemet, kopma uzaması ve sertlik değerleri Tablo 7'de verilmiştir. Aynı tabloda ayrıca alaşımmanın ölçülen yoğunluk değerleri de yer almaktadır.

Bu tablodan, bakır içeren üçlü ve dörtlü alaşımların çekme dayanımı ve sertliklerinin, ikili alaşımlardan elde edilen değerlerden daha yüksek olduğu görülmektedir. İkili alaşımlar ise aynı oranda çinko ve alüminyum içeren üçlü alaşımlardan daha fazla % uzama miktarı göstermiştir.  $350^{\circ}\text{C}$  sıcaklığındaki çözündürme işlemini izleyen fırında soğutma işlemi sonunda, alaşımların çekme mukavemeti ve sertlik değerlerinin bir hayli düşüğü gözlenmiştir. Nitekim dökülmüş durumdaki alaşımalar fırında soğutulan alaşımlardan daha yüksek mukavemet değerleri sergilemiştir. Su verme işlemi sonrası  $150^{\circ}\text{C}$  sıcaklıkta uygulanan 2 saat süreli yaşlandırma işlemi ise alaşımların çekme dayanımı ve sertlik değerlerini önemli ölçüde arttırmıştır.

İkili alaşımının, dökülmüş ve ıslıl işlem görmüş durumlardaki çekme dayanımının ve sertlik değerlerinin, içerdikleri alüminyum oranına göre değişimini gösteren eğriler belirlenerek sırası ile Şekil 24, 25 ve 26'da verilmiştir. Eğrilerden görüldüğü gibi, alaşımının çekme dayanımı ve sertliği artan alüminyum oranı ile artarak, % 50-60 Al oranları arasında en yüksek değerlere ulaşmakta ve bu oranların üzerindeki bileşimlerde ise azalmaktadır.

Yaklaşık % 3 oranında bakır içeren üçlü alaşımının dökülmüş ve ıslıl işlem görmüş (fırında soğutulmuş ve yapay yaşlandırılmış) durumlardaki çekme dayanımı ve sertlik değerlerinin alüminyum oranına göre değişimini gösteren eğriler sırası ile Şekil 27, 28 ve 29'da verilmiştir. Eğrilerden görüldüğü gibi, üçlü alaşımının çekme dayanımı ve sertlikleri artan alüminyum oranı ile artarak % 40 Al oranında en yüksek değerlere ulaşmakta ve bu oranın üzerindeki bileşimlerde ise tekrar azalmaktadır.

Bu çalışmada, ayrıca değişik oranlardaki bakır katkılarının monotektoid bileşimdeki ikili alaşımının mekanik özelliklerini üzerindeki etkileri belirlendi. Bulunan sonuçlardan yararlanarak

Tablo 7 Mekanik Deney Sonuçları

Alaşım No	İşlem Durumu	Yoğunluk (gr/ cm <sup>3</sup> )	Çekme Dayanımı (MPa)	Sertlik (BSD-5)	% Kopma Uzaması
1	A	5.21	232	77	2.6
	B	5.22	163	59	1.5
	C	5.18	135	44	8.6
2	A	4.20	252	96	1.0
	B	4.20	190	80	1.2
	C	4.19	291	128	0.6
3	A	3.56	255	94	1.4
	B	3.55	238	101	1.2
	C	3.51	287	142	1.2
4	A	3.16	290	105	3.0
	B	3.16	249	98	3.2
	C	3.16	275	106	2.2
5	A	2.95	217	95	4.0
	B	2.95	218	72	9.0
	C	2.95	216	55	6.6
6	A	5.29	269	102	0.2
	B	5.27	252	102	0.2
	C	5.28	306	109	1.0
7	A	3.59	272	111	1.4
	B	3.60	263	102	1.2
	C	3.58	320	158	0.1
8	A	3.05	212	88	1.5
	B	3.03	209	94	1.2
	C	3.02	235	79	1.6
9	A	4.19	289	98	1.9
	C	4.18	306	134	0.8
	A	4.15	344	114	4.1
10	C	4.12	376	146	0.8
	A	4.20	325	113	0.6
	C	4.19	392	146	0.9
12	A	4.27	306	108	1.2
	C	4.23	416	152	0.8
	A	4.98	273	106	1.0
13	D	4.95	251	85	1.6
	A	4.28	354	112	3.0
	D	4.23	290	80	4.5
15	A	4.11	258	90	2.0
	D	4.09	168	59	2.9
	A	4.10	307	112	1.5
16	D	4.08	279	82	2.6

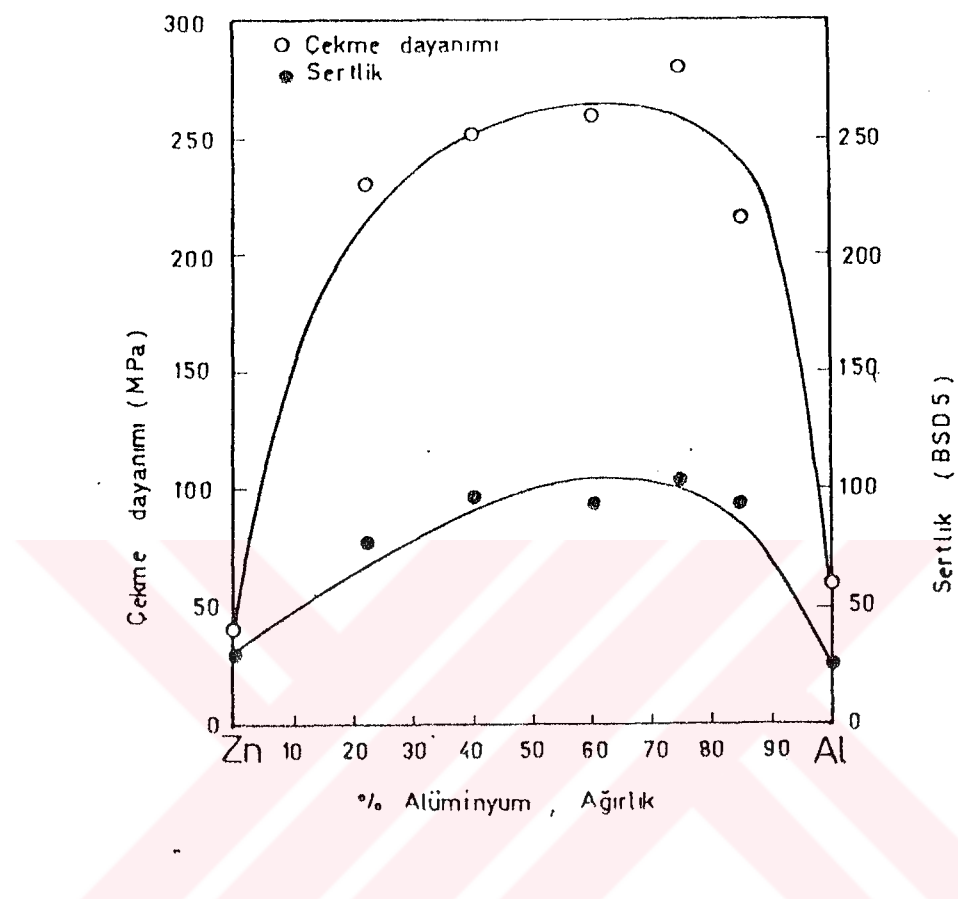
Not: Buradaki harfler uygulanan ıslıl işlemi göstermektedir.

A: Dökülmüş

B: Çözündürme işlemi sonrası fırında soğutulmuş

C: Su verme işlemi sonrası yapay yaşlandırılmış

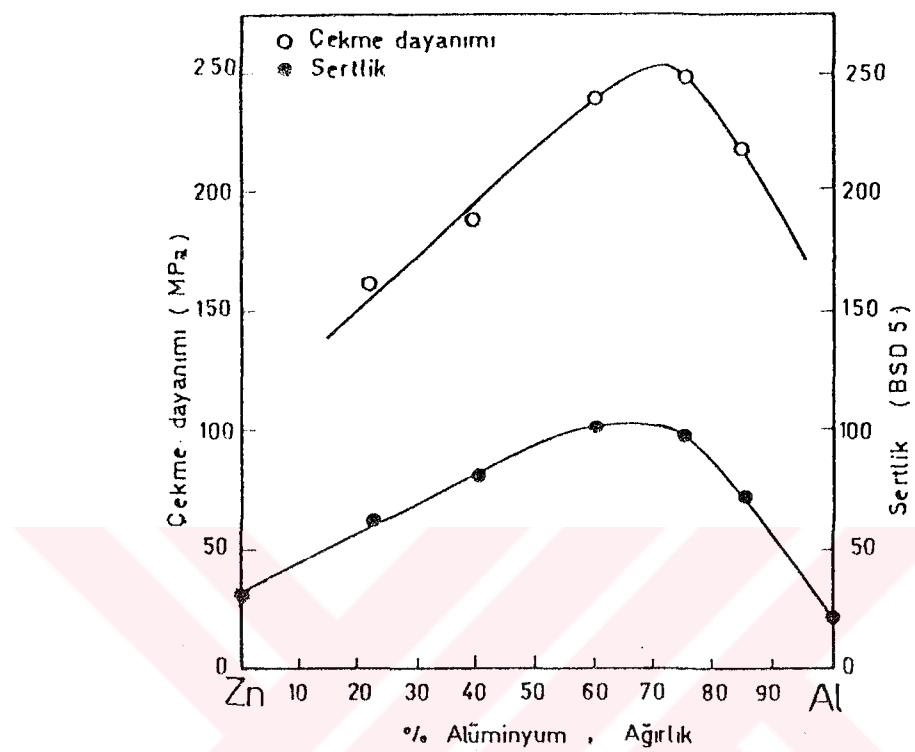
D: Stabilize edilmiş.



Şekil 24. Dökülmüş durumda ikili Zn-Al alaşımlarının çekme mukavemeti ve sertliğinin içerdikleri alüminyum oranına göre değişimi

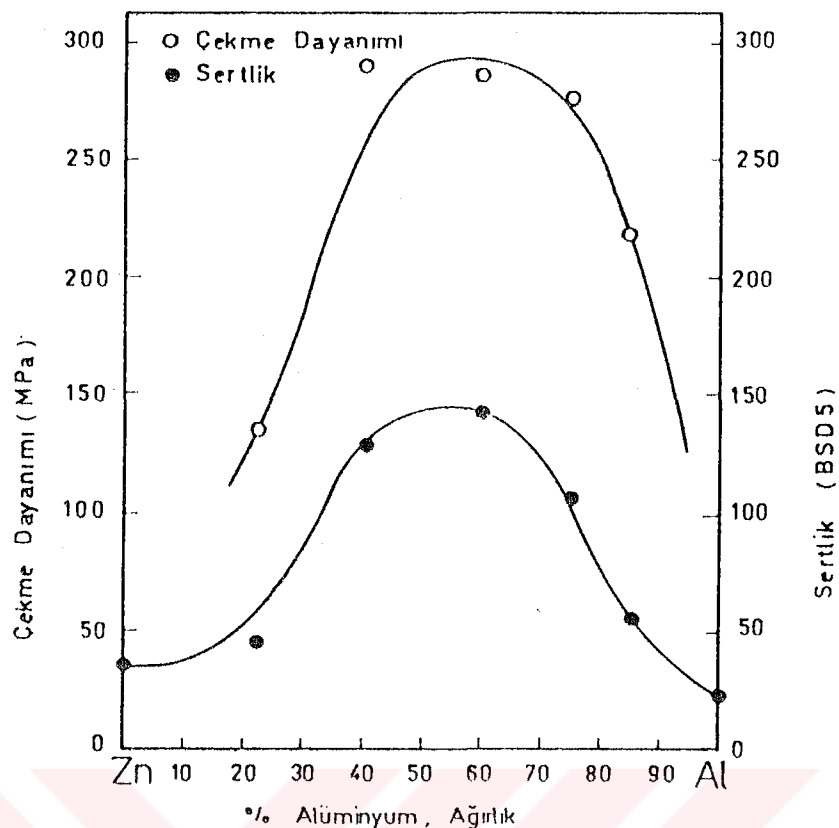
alaşımının çekme dayanımı ve sertlik değerlerinin, bakır oranına göre değişimini gösteren eğriler elde edildi. Şekil 30 ve 31'de verilen bu eğrilerden görüldüğü gibi, üçlü alaşımının mukavemeti, dökülmüş durumda, artan bakır katkısı ile artarak % 2 Cu oranında en yüksek değerlere ulaşmaktadır ve bu oranın üzerindeki bileşimlerde ise tekrar düşmektedir. Yaşlandırılmış durumda ise bu alaşımının çekme dayanımı ve sertlikleri artan bakır oranı ile sürekli artmaktadır. Ancak, mukavemet ve sertlik değerlerinde görülen bu artış miktarı, bakır oranı arttıkça azalmaktadır.

Bakır içeren üçlü ZnAl40Cu2 alaşımına % 2 oranında silisyum katıldığında, mukavemet değerinde bir miktar düşme görülmüş-

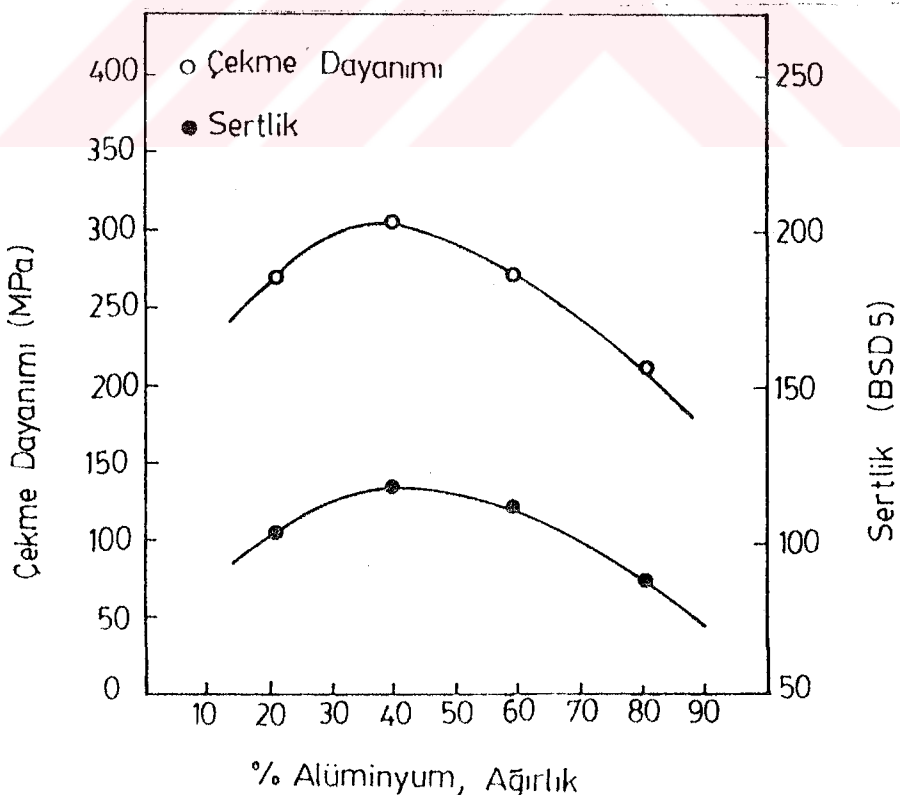


Şekil 25. Fırında soğutulan ikili alaşımaların çekme mukavemeti ve sertliğinin alüminyum oranına göre değişimi

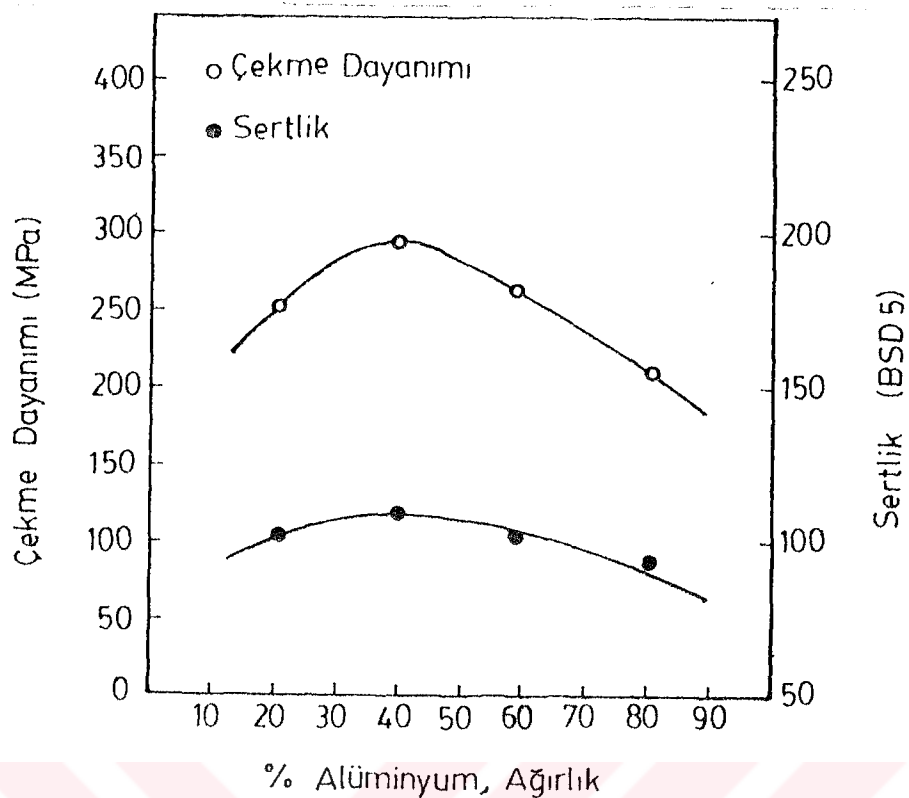
tür. Ancak, bakır ve silisyum içeren dörtlü  $ZnAl40Cu2Si2$  alaşımı, hem yalnız silisyum içeren  $ZnAl40Si2$  alaşımından, hem de bakır içeren ötektoid esaslı üçlü alaşımlardan daha yüksek mukavemet değeri göstermiştir.



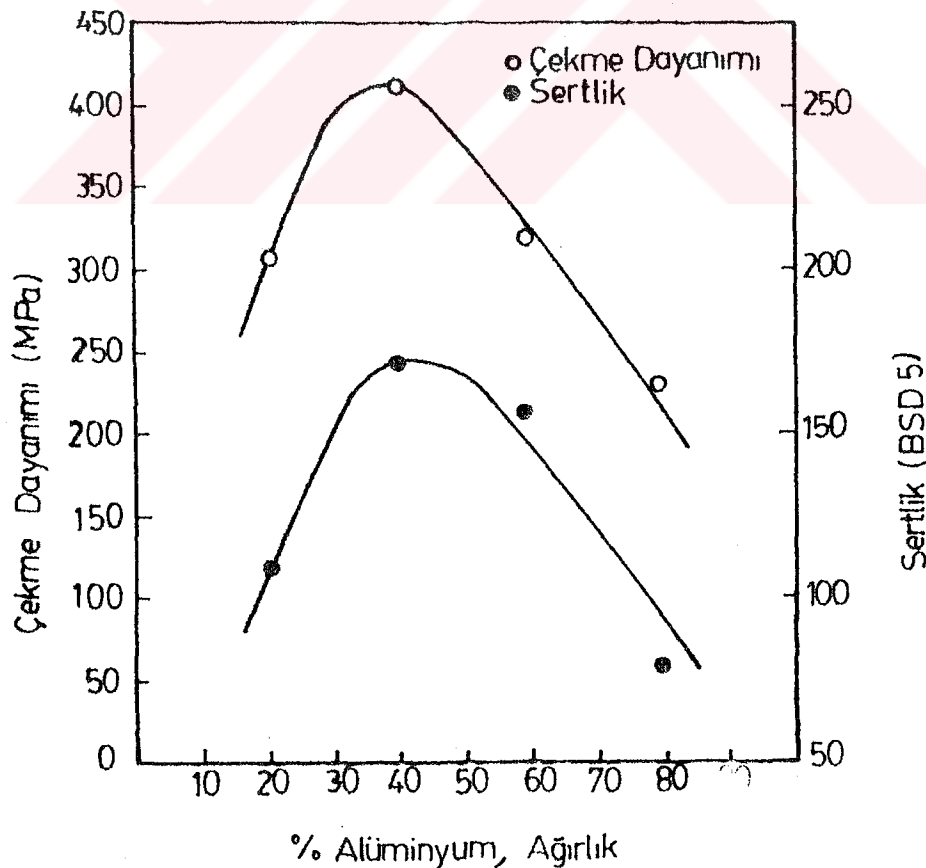
Şekil 26. Su verme işlemi sonrası yapay olarak yaşlandırılan ikili Zn-Al Alaşımlarının mukavemet değerlerinin alüminyum oranı ile değişimi



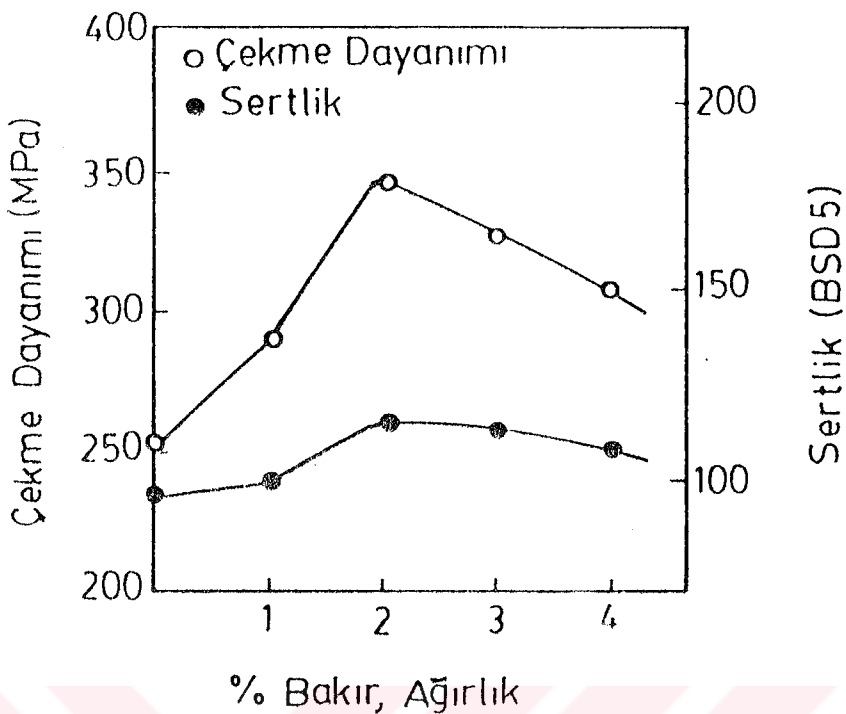
Şekil 27. Dökülmüş durumdaki üçlü Zn-Al-Cu Alaşımının çekme mukavemeti ve sertliğinin alüminyum oranına göre değişimi



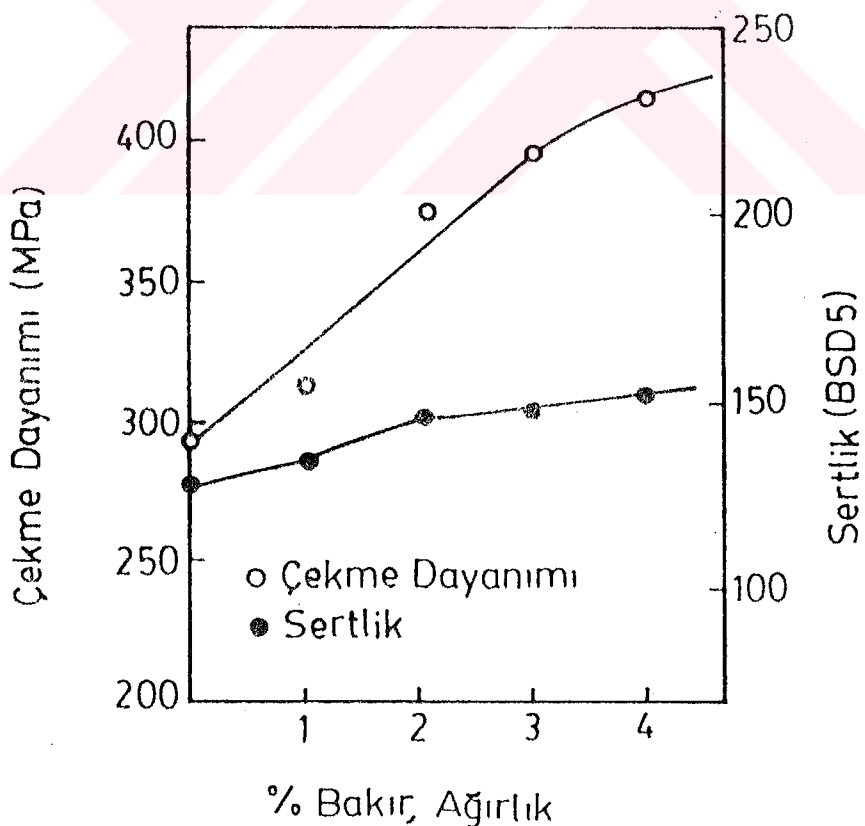
Şekil 28. Fırında soğutulan üçlü Zn-Al-Cu alaşımlarının çekme mukavemeti ve sertliğinin alüminyum oranı ile değişimi



Şekil 29. Su verme işlemi sonrası yapay olarak yaşatılan üçlü Zn-Al-Cu alaşımlarının çekme mukavemeti ve sertliğinin alüminyum oranına göre değişimi



Şekil 30. Bakır katkısının dökülmüş durumda monotektoid alaşımaların mukavemetine etkisi

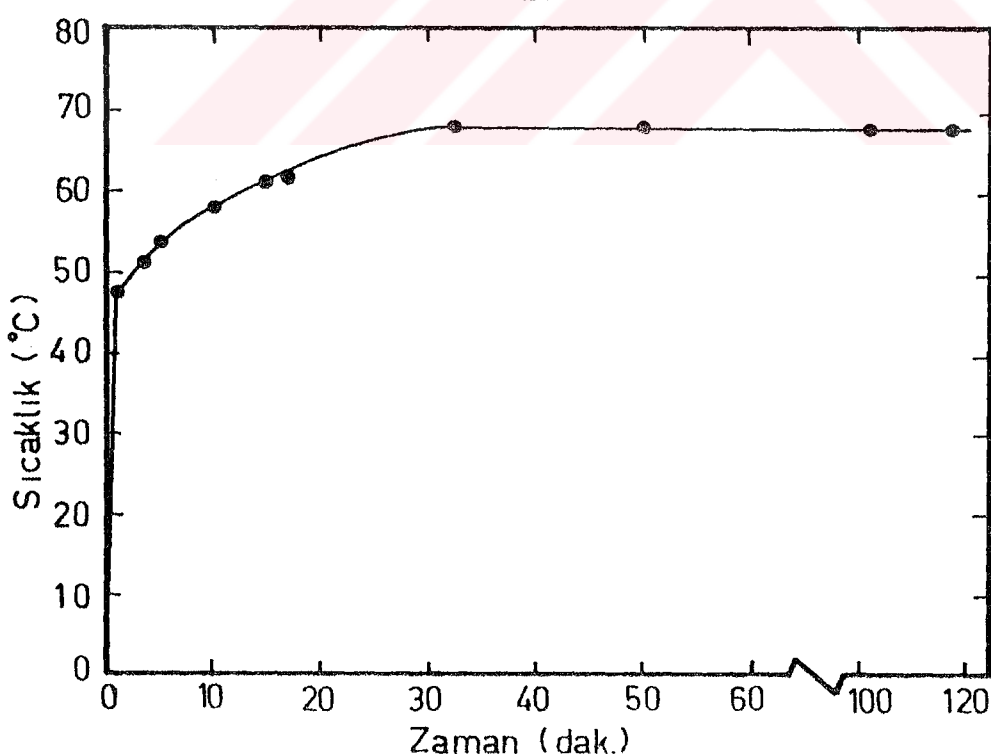


Şekil 31. Su verme işlemi sonrası yaşlandırılmış monotektoid alaşımaların mukavemetinin bakır oranı ile değişimi

### 3.4. Aşınma Deneyi Sonuçları

Çalışmaya başlama anından itibaren aşınma numunelerinin sıcaklığı değişik zamanlarda ölçülerek, Şekil 32'de verilen tipik bir sıcaklık-zaman eğrisi elde edilmiştir. Bu eğriden görüldüğü gibi aşınma numunesinin sıcaklığı, çalışmanın özellikle ilk 1 dakikalık başlangıç döneminde büyük bir hızla yükselmekte, ancak ilerleyen zaman içerisinde sıcaklık artış hızı azalarak, yarı saatlik çalışma süresi sonunda sabit bir değere ulaşmaktadır. Rejim durumundaki sıcaklık değerinin, bütün alaşımalar için  $68^{\circ}\text{C}$  civarında olduğu belirlenmiştir.

Aşınma deneyleri, üçlü ZnAl25Cu2, ZnAl40Cu2, ZnAl40Si2 ve dörtlü ZnAl40Cu2Si2 alaşımaları ile DIN-1705 (CuSn12) normuna uygun ticari bronzdan alınan numuneler ile gerçekleştirildi. Deney sırasında, önceden belirlenen yola karşılık gelen süreler sonunda aşınma numuneleri tartılarak aşınma ile meydana gelen ağırlık kayıpları belirlendi. Bulunan sonuçlar



Şekil 32. Aşınma numunelerinin sıcaklık-zaman eğrisi

Tablo 8 Aşınma Deneyi Sonuçları

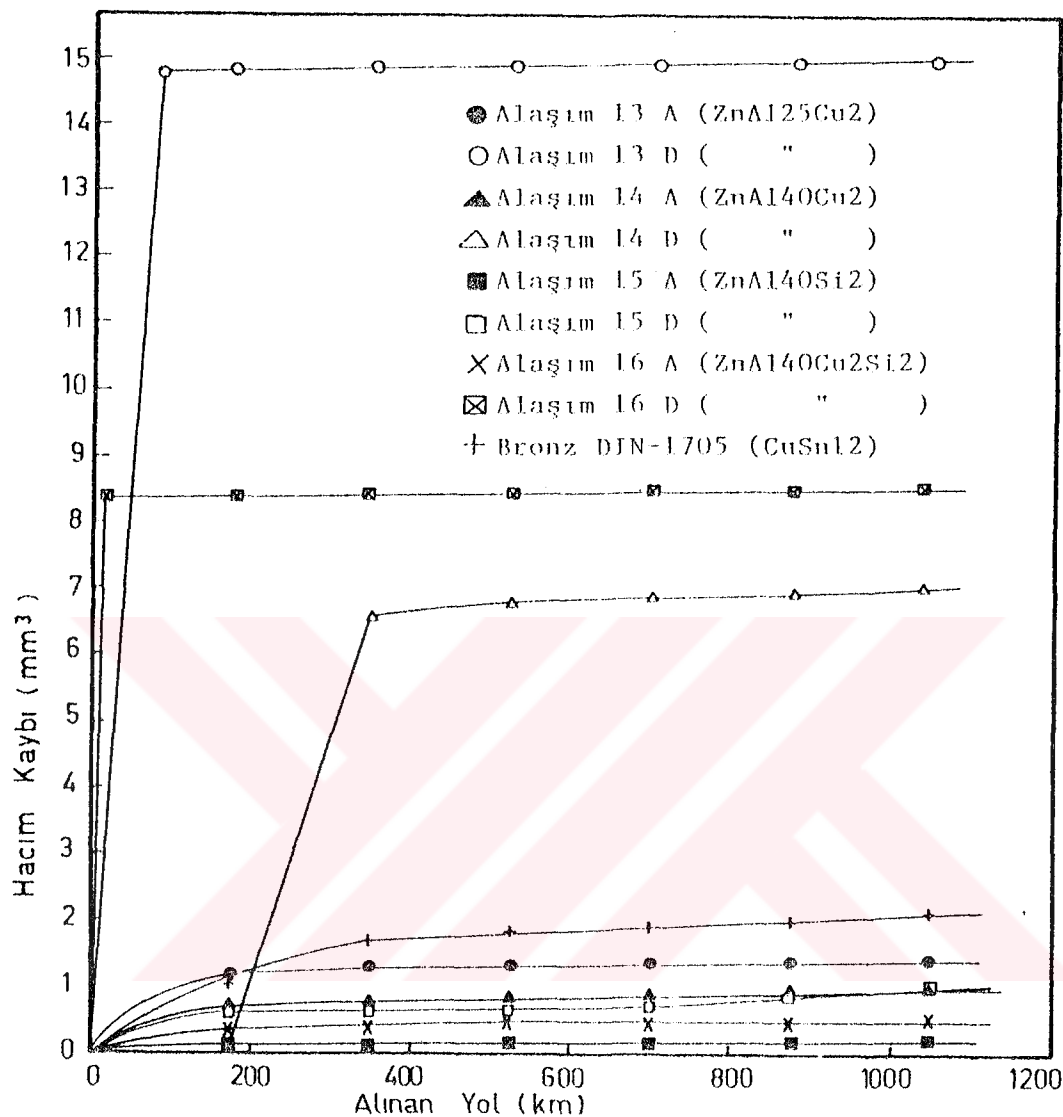
Alaşım No	Alınan Yol'a (km) karşılık gelen ağırlık kaybı (mg)							Sürtünme Kat.
	17	175	350	525	700	875	1050	
13A	--	5.8	6.4	6.7	6.8	7.0	7.2	0.024
13D	0.6	73.9	74.0	74.1	74.3	74.4	74.5	0.030
14A	--	3.2	3.5	3.7	3.9	4.0	4.1	0.025
14D	0.3	0.4	28.1	29.1	29.3	29.6	29.9	0.029
15A	--	0.5	0.6	0.6	0.7	0.7	0.8	0.019
15D	2.2	2.6	2.7	2.8	3.0	3.7	4.1	0.025
16A	--	1.5	1.7	1.9	2.0	2.0	2.1	0.019
16D	23.9	24.0	24.1	24.3	24.4	24.5	24.6	0.026
Bronz	--	9.5	14.6	16.0	17.0	17.7	18.3	0.030

A: Dökülmüş

D: 150°C sıcaklıkta 10 gün stabilize edilmiş

Tablo 8'de verilmiştir. Kaymali yatakların ömrü mil ile yatak arasında meydana gelen boşluk miktarı ile belirlendiğinden, hacim kaybı ağırlık kaybından daha önemli bir aşınma parametresi sayılmalıdır. Bu nedenle, ölçülen ağırlık kayipları alaşımların yoğunluklarına bölünerek aşınma ile ortaya çıkan hacim kayipları belirlendi. Alaşımlar için belirlenen hacim kaybı değerlerinin alınan yola göre değişimiğini gösteren eğriler Şekil 33'de verilmiştir.

Şekildeki eğrilerden görüldüğü gibi, alaşımların çoğu rödaj olarak adlandırılan ilk aşınma devresinde yüksek bir aşınma hızı sergilemeye ve bunu, hızı çok daha düşük olan kararlı bir aşınma devresi izlemektedir.



Şekil 33. İncelenen alaşımaların aşınma dayanımını gösteren eğriler

Dökülmüş durumdaki alaşımalar stabilize edilmiş alaşımlardan daha üstün aşınma davranışını sergilediler. Dökülmüş durumdaki alaşımalar içerisinde en yüksek aşınmayı DIN-1705 (Cu Sn12) bronzu göstermiştir. Bunu sırası ile ZnAl25Cu2 ve Zn Al40Cu2 alaşımları izlemektedir. Bu çalışmada en düşük aşınma miktarı, yada en yüksek aşınma direnci, dökülmüş durumdaki üçlü ZnAl40Si2 alaşımı ile elde edilmiştir.

Stabilizasyon işlemi sonrası alaşımaların aşınma dirençlerinin azaldığı görüldü. Stabilize edilmiş alaşımalar içersinde en düşük aşınma miktarı üçlü ZnAl40Si2 alaşımı ile en yüksek aşınma miktarı ise ZnAl25Cu2 alaşımı ile elde edilmiştir. Stabilize edilmiş üçlü ZnAl140Cu2 alaşımı, diğer tüm alaşımlardan daha farklı bir aşınma davranışını sergilemiştir. Şöyledi, rodaj devresinde çok az bir aşınma gösteren bir alaşımın aşınma miktarı, 175 ile 350 km'ler arasında hızlı bir şekilde artarak yüksek bir değere ulaşmıştır.

Alaşımaların kararlı aşınma durumunda ölçülen sürtünme katsayıları Tablo 8'de verilmiştir. Rodaj devresinde süratli değişen sürtünme katsayısı değerleri, algılayıcı sistemin yetersizliği nedeniyle ölçülememiştir. Bunun için strain-gauge'lerden alınan sinyalin sürekli olarak kaydedilmesi gereklidir.

Alaşımalar içerisinde en düşük sürtünme katsayısı üçlü Zn Al40Si2 ve dörtlü ZnAl140CuSi2 alaşımlarından elde edilmiştir. En yüksek sürtünme katsayısı ise DIN-1705 (CuSn12) bronzu ile bakır içeren alaşımardan elde edilmiştir. Stabilizasyon işleminin alaşımaların sürtünme katsayısını artırdığı görülmüştür. Stabilizasyon işlemi sonrası en yüksek sürtünme katsayısı değerini üçlü ZnAl25Cu2 alaşımı, en düşük sürtünme katsayısı değerini ise üçlü ZnAl40Si2 alaşımı göstermiştir.

#### 4. İRDELEME

Malzemelerin mekanik özelliklerini, kimyasal bileşimleri ile iç yapılarına bağlıdır. İç yapı, kimyasal bileşim oranından başka, uygulanan ıslıl işleme göre de değişir. Monotektoid bileşimdeki çinko esaslı bütün alaşımalar (% 30-50 Al) gerek dökülmüş ve gerekse ıslıl işlem görmüş durumlarda, ötektoid alaşımlardan (% 20-30 Al) daha yüksek mukavemet ve sertlik değerleri sergilediler.

Mekanik deney sonuçlarından, ikili alaşımaların çekme dayanımları ile sertliklerinin artan alüminyum oranı ile artarak % 50-60 Al oranları arasında maksimum değerlere ulaştığı ve bu oranın üzerindeki bileşimlerde ise düşüğü görüldü. İkili ötektoid alaşım, en yüksek mukavemet ve sertlik değerlerini dökülmüş durumda sergiledi. Fırında soğutma işlemi sonrası, bu alaşının mukavemet ve sertlik değerlerinin azlığı görüldü. Ancak, bu alaşında en düşük mukavemet ve sertlik değerleri yaşlandırılmış durumda elde edildi. Bu durum, yaşlandırılmış ötektoid alaşının süperplastik özelliğinden kaynaklanmaktadır. Nitekim, su verme işlemi sonrası yapay olarak yaşlandırılan, ötektoid bileşimdeki çinko-alüminyum alaşımının, çok ince taneli iç yapıya sahip olmaları nedeni ile süperplastik davranış gösterdikleri bilinmektedir (Hutchison ve dig., 1969, S. 1/6). İkili monotektoid alaşımında (% 50-70 Al) ise, en yüksek mukavemet ve sertlik değerleri yapay yaşlandırma işlemi sonrası elde edildi. Bu durum büyük ölçüde, yaşlandırma sırasında  $\alpha / \alpha'$  katı eriyiği içerisinde çökelen küçük boyutlu çinkoca zengin parçacıkların yoğunluğunun artmasından kaynaklanmaktadır.

Düşük oranlardaki bakır katkıları, bütün çinko-alüminyum alaşımlarının mukavemet ve sertliklerini önemli ölçüde artırmaktadır. Bakır katkısı ayrıca, ikili alaşımında elde edilen çekme mukavemeti ve sertlik değerlerine ait tepe noktalarını sola doğru kaydırarak % 40Al oranına düşürmektedir. Bu durum, üçlü sistemdeki  $\alpha + \beta$  karışmazlık bölgesinin ikili sis-

teme göre daha düşük alüminyum tarafına kaymasından kaynaklanmaktadır. Bakır içeren alaşımarda, su verme sonrası yapay yaşlandırma sırasında çökelen çinko ve bakırca zengin küçük boyutlu çökeltiler mukavemet değerlerini artırmaktadır. Özellikle monotektoid alaşımarda görülen bu durum, yaşlandırma sırasında oluşan çökeltilerin alaşım içerisinde yerel distorsiyon ve iç gerilmeler oluşturarak dislokasyon hareketini engellemesinden kaynaklanmaktadır.

Düşük oranlardaki bakır katkılarının ikili monotektoid alaşımının çekme dayanımı ve sertliklerini gerek dökülmüş ve gerekse ıslı işlem görmüş durumlarda büyük ölçüde artırdığı görülmüştür. Ancak, belirli bir oranın üzerindeki bakır katkıları ise özellikle dökülmüş durumdaki alaşımının mekanik özelliklerini olumsuz yönde etkilemiştir. Bu sonuçlar ayrıca, düşük oranlarda bakır içeren monotektoid esaslı üçlü Zn-Al-Cu alaşımının mukavemet bakımından düşük karbonlu çeliklerle karşılaştırılabilir durumda olduğunu göstermektedir. Nitekim, 12 numaralı alaşımdan ( $ZnAl40Cu4$ ) yaşlandırılmış durumda elde edilen 410 MPa'lık çekme dayanımı değeri, Fe-42 çeliğinin çekme dayanımına (412 MPa) yaklaşıklar olarak eşittir.

Aşınma deneyleri, dökülmüş durumdaki çinko-alüminyum esaslı alaşımının DIN-1705 ( $CuSn12$ ) bronzundan daha üstün aşınma davranışını sergilediklerini göstermiştir. Gerek dökülmüş ve gerekse ıslı işlem görmüş alaşımalar içerisinde, en yüksek aşınma direnci silisyum içeren monotektoid esaslı  $ZnAl40Si2$  alaşımı ile elde edilmiştir. Silisyum içeren alaşımının üstün aşınma davranışını, bu alaşımların iç yapısında bulunan yük taşıyıcı sert silisyum parçacıklarına ve bu parçacıkların dağılım biçimine dayandırılarak açıklanmaktadır (Savaşkan ve Murphy, 1987, S.88).

İnceленen tüm Zn-Al esaslı alaşımalar stabilizasyon işlemi sonrası, yüksek bir aşınma hızı sergilemişlerdir. Başka bir deyişle uygulanan stabilizasyon işlemi, alaşımaların aşınma davranışını olumsuz yönde etkilemiştir. Bu durum daha çok stabilizasyon işlemi sonunda, iç yapı matriksinin (ana kütle) yu-

muşamasından kaynaklanmış olabilir. Stabilize edilmiş alaşım - lar özellikle rodaj devresinde yüksek bir aşınma hızı göstermişlerdir. Rodaj döneminde, numune yüzeyinde yeterli yağ filmi oluşmadığı gözönüne alınırsa, bu devredeki aşınma davranışının daha çok sertlik ve mukavemet gibi malzeme özelliklerine bağlı olduğu görülür. Gözlenen bu durum, film kalınlığının yetersiz olması durumunda sertlik azaldıkça aşınma miktarının arttığını göstermektedir. Buradan, sertliğin özellikle yetersiz yağlanması durumunda malzemelerin aşınma davranışını üzerinde daha etkili olduğu ortaya çıkmaktadır.

Silisyum içeren alaşımalar, daha düşük mukavemet ve sertliğe sahip olmalarına rağmen, bütün alaşımlardan daha üstün aşınma davranışını gösterirler. Bu durum ise, malzemelerin aşınma davranışlarının her zaman sertliğe bağlı olmadığını göstermektedir. Buradan, mukavemet ve sertlik değerlerinin alaşımaların yağlanmış durumdaki aşınma davranışını değerlendirmede yeterli bir ölçü olmadığı ortaya çıkmaktadır. Malzemelerde aşınma davranışı, mekanik özelliklerin yanında iç yapısı ve aşınma yüzeyinde oluşan film tabakası ile de yakından ilgilidir. Genellikle yatak alaşımalarının iç yapısı sertlikleri farklı olan değişik fazlardan oluşmaktadır. Böylelikle, sert faz yük taşıma görevi yaparken, yumuşak faz kaymayı kolaylaştırır. Çinko-alüminyum esaslı alaşımaların üstün aşınma davranışı, bu alaşımaların sahip olduğu uygun iç yapısından başka, aşınma yüzeylerinde oluşan çinko ve alüminyum oksitlerine dayandırılarak açıklanmaktadır (Marczak ve Ciach, 1973, S.223/227). Sert alüminyum oksit tabakası uygulanan yükü taşıırken, daha yumuşak olan çinko oksit filmi ise kaymayı kolaylaştırır.

Yapılan incelemeler, uygulanan stabilizasyon işleminin çinko-alüminyum esaslı alaşımaların mekanik özelliklerini ve aşınma davranışlarını olumsuz yönde etkilediğini göstermiştir. Ancak, silisyum içeren alaşımalar üzerinde yapılan araştırmalar (Savaşkan ve Murpy, 1987, S.88) bu alaşımaların aynı sıcaklıkta iki saat gibi kısa bir süre sonunda kararlı duruma getirilebileceğini göstermiştir. Buradan, silisyum içeren alaşımlara u-

zun süreli(10 gün) stabilizasyon işlemi yerine, daha kısa süreli stabilizasyon işlemi uygulanabileceği görülmektedir. Böylece, stabilizasyon süresinin kısaltılarak, bu alaşımaların daha üstün mekanik ve aşınma davranışını göstermeleri sağlanabilir. Diğer taraftan kısa süreli stabilizasyon işlemi, ekonomik bakımından avantajlı olmakla birlikte, malzemenin ve aşınma özelliklerinin korunması açısından yararlı olabilir. Bu çalışmada ise, alaşımaların mekanik ve aşınma davranışlarını aynı şartlar altında karşılaştırmalı olarak incelemek amacıyla bütün alaşımlara aynı ısıl işlem uygulanmıştır.

Kararlı bir iç yapı elde etmek amacıyla uygulanan stabilizasyon işlemi özellikle bakır içeren alaşımaların sertliğini azaltarak, aşınma dayanımının düşmesine neden olmuştur. Ancak, yatak alaşımalarının kararlı bir iç yapıya sahip olması gerektiğinden stabilizasyon işleminin aşınma davranışını üzerindeki bu olumsuz etkisi kaçınılmaz bir durum gibi gözükmeektedir. Ancak gözlenen bu olumsuz etki, belki daha uygun bir kimyasal bileşim seçerek ya da stabilizasyon işleminin süresini kısaltarak azaltılabilir. Bu nedenle, bu konu daha ayrıntılı bir çalışmada ele alınacaktır.

Alaşımaların kararlı aşınma bölgesinde ölçülen sürtünme katsayısı değerlerinin 0.019-0.030 arasında değiştiği gözlenmiştir. Ölçülen bu değerler, önceki araştırmacılar tarafından (Barnhurst ve diğ., 1987, S. 1402) 6.9 MPa'lık basınç altında ve 0.15 m/s'lik çalışma hızında ZA-27 alaşımından rodaj devresinde elde edilen değerlerden(0.03-0.07) daha düşüktür.

Bu çalışmada, alaşımaların rodaj devresindeki sürtünme katsayıları ölçülememiştir. Ancak, alaşımaların aşınma miktarı ile kararlı aşınma safhasında ölçülen sürtünme katsayıları arasında yakın bir ilişki gözlenmiştir. Şöyleki, sürtünme katsayısı yüksek olan alaşımalar, yüksek miktarda aşınma göstermiştir. Nitekim, en yüksek aşınma miktarı, sürtünme katsayısı en yüksek olan ( $\mu=0.30$ ) DIN- 1705(CuSn12) bronzundan elde edilmiştir. Buna karşılık, en düşük aşınma miktarı ise, sürtünme katsayısı değeri en düşük olan ( $\mu=0.019$ ) silisyum içeren ala-

şımdan (16 A) elde edilmiştir. Stabilizasyon işlemi sonrası bütün alaşımaların sürtünme katsayılarında artış gözlenmiş ve buna paralel olarak da aşınma miktarları artmıştır. Nitekim, stabilize edilmiş alaşımalar içerisinde en yüksek aşınma, sürtünme katsayısı en yüksek olan ( $\mu = 0.030$ ) ZnAl25Cu2 alaşımında ortaya çıkmıştır.

Bu çalışmada, en üstün mekanik özellikler bakır içeren monotektoid esaslı üçlü alaşımlardan, en üstün aşınma davranışını ise silisyum içeren üçlü alaşımlardan elde edilmiştir. Başka bir deyişle, bakır katkısı alaşımaların mekanik özelliklerini iyileştirmekken, silisyum katkısı aşınma dayanımını büyük ölçüde arttırmıştır. Buradan, alaşımaların hem mukavemet ve hem de aşınma direncini yükseltmek bakımından, bakır ve silisyumun çok uygun alaşım elementleri olduğu görülmektedir. Nitekim, hem bakır ve hem de silisyum içeren ZnAl40 Cu2Si2 alaşımı, yanlış bakır içeren monotektoid esaslı üçlü ZnAl40Cu2 alaşımına göre daha düşük, ancak yanlış silisyum içeren üçlü ZnAl40Si2 alaşımından daha yüksek mukavemet değeri sergilemiştir. Sözkonusu dörtlü alaşım (ZnAl40Cu2Si2), yanlış bakır içeren ZnAl40Cu2 alaşımından daha üstün, ancak yanlış silisyum içeren üçlü alaşımından (ZnAl40Si2) daha düşük aşınma dayanımı göstermiştir. Dörtlü alaşının gerek mekanik özelliklerinin, gerekse aşınma davranışının iç yapıya dayandırılarak açıklanması gereklidir. Ancak bu çalışmada, sözkonusu alaşının iç yapısı, araştırma imkanlarının kısıtlı olması nedeniyle ayrıntılı olarak incelenmemiştir. Ayrıca Zn-Al-Cu-Si alaşım sisteminin faz diyagramı henüz belirlenmemiştir. Bu çalışmadan elde edilen sonuçlar, dörtlü Zn-Al-Cu-Si alaşımalarının hem mukavemet ve hem de aşınma dayanımını daha da artırmak için kimyasal bileşimlerinin özellikle bakır ve silisyum oranlarının iyi seçilmesi gerektiğini göstermektedir.

## SONUÇLAR

1) İkili çinko-alüminyum alaşımlarının mukavemet ve sertlikleri artan alüminyum oranı ile artarak yaklaşık % 60 Al oranında en yüksek değerlere ulaşmakta ve bu oranın üzerindeki bileşimlerde ise tekrar azalmaktadır.

2) Düşük oranlardaki bakır katkıları, ikili çinko-alüminyum alaşımının çekme mukavemeti ile sertlik değerlerini büyük ölçüde artırmaktadır. Ancak, belirli bir oranın üzerindeki bakır katkıları bu alaşımın mekanik özelliklerini olumsuz yönde etkilemektedir.

3) Düşük oranlarda bakır içeren üçlü Zn-Al-Cu alaşımında, en yüksek çekme dayanımı ve sertlik değerleri, yaklaşık % 40 Al oranında elde edilmektedir.

4) Monotektoid bileşimdeki Zn-Al esaslı alaşımın çekme mukavemeti ve sertliği uygun ısıl işlemlerle artırılabilir. Ötektondeki alaşımın mukavemet ve sertliği ise ısıl işlem sonrası azalmaktadır.

5) Bakır yada silisyum içeren üçlü ve dörtlü Zn-Al esaslı alaşımın aşınma davranışını bakımdan, genelde geleneksel bir yatak malzemesi olan DIN-1705 (CuSn12) bronzundan daha üstünür.

6) Kararlı bir iç yapı elde etmek amacıyla uygulanan stabilizasyon işlemi, alaşımın mekanik özelliklerinden başka, aşınma davranışını da olumsuz yönde etkilemektedir.

7) Silisyum katkısı çinko-alüminyum esaslı alaşımın aşınma dayanımını bakırdan daha fazla artırmaktadır. Nitekim, silisyum içeren monotektoid esaslı üçlü ve dörtlü alaşım, bakır içeren Zn-Al esaslı alaşımardan ve DIN-1705 (CuSn12) bronzundan daha üstün aşınma davranışını sergilerler.

8) Dörtlü ZnAl<sub>4</sub>Cu<sub>2</sub>Si<sub>2</sub> alaşımı, mukavemet yönünden üçlü ZnAl<sub>4</sub>Si<sub>2</sub> alaşımından, aşınma dayanımı bakımdan ise, bakır içeren monotektoid ve ötektonde esaslı üçlü alaşımardan daha üstünür.

9) Çinko-alüminyum alaşımlarında, sertlik ve mukavemet de-

ğerleri aşınma dayanımının belirlenmesinde her zaman yeterli bir ölçü değildir. Ancak, yetersiz yağlama durumunda sertlik aşınma davranışısı üzerinde daha etkili olmaktadır.

## KAYNAKLAR

- Savaşkan, T., ve Murphy, S., "Mechanical Properties and Lubricated Wear of Zn-25Al-Based Alloys" *Wear*, 116(1987)211-224.
- Lee, P.P., Savaşkan, T., ve Laufer, E., "Wear, Resistance and Microstructure of Zn-Al-Si and Zn-Al-Cu Alloys" *Wear*, 117 (1987)79-89.
- Murphy, S., ve Savaşkan, T., "Comparative Wear Behaviour of Zn-Al-Based Alloys in an Automotive Engine Application" *Wear*, 98(1984)151-161.
- Murphy, S., ve Savaşkan, T., "Practical Metallography" *Prakt. Met.* 24(1987) 204-221.
- Savaşkan, T., ve Murphy, S., "Creep Behaviour of Zn-Al-Cu Bearing Alloys" *Z.Metallkde.* Bd.74(1983) 76-82.
- Zhu, Y.H., Savaşkan, T., ve Murpy, S., "Phase Transformations in Quench-Aged Zn-Al-Si Alloys" Materials Research Society Synop. Proc., Vol. 21, Elseiver, New York, (1984) 835-840.
- Savaşkan T., ve Murphy, S., "Zn-Al Esaslı Yatak Alaşımlarındaki Faz Dönüşümleri" 4. Ulusal Metalurji Kongresi Bildiriler Kitabı, Cilt 1, Ankara, Ekim 1986, 532-555.
- Gervais, E., "ZA Alloys-A Challenge to the Metals Industry" CIM Bulletin, April 1987, Vol. 80, No. 900, 67-72.
- Gervais, E., Barnhurst, R.J., ve Loong, C.A., "An Analysis of Selected Properties of ZA Alloys" Journal of Metals, Vol. 37, No.11, November 1985, 43-47.
- Gervais, E., ve Loong, C.A., "New ZA Alloys in Die Casting" 11 th International Pressure Die Casting Conference, Lyon, France, 19-22 June 1984, 1-25
- Risdon, T.J., Barnhurst, R.J., ve Mihaichuk, W.M., "Comparative Wear Rate Evaluation of Zinc Aluminum (ZA) and Bronze Alloys Through Block on Ring Testing and Field Applications" Society of Automotive Engineers, Inc. 1987, No.860064, 1400-1405.

- Skenazi, A.F., Pelerin, J., Coutsouradis, D., Magnus, B., ve Meeus, M., "Some Recent Developments in the Improvement of the Mechanical Properties of Zinc Foundry Alloys" Metall, 37, Jahrgang, Heft 9, September, 1983, 898-902.
- Lamberigts, M., Walmag, G., Coutsouradis, D., Delneuville, P., ve Meeus, M., "Friction and Ductility Behaviors of a High Strength Zinc Foundry Alloy" AFS Transactions.
- Marczak, R.J., ve Ciach, R., "Tribological Properties of the Concentrated Al-Zn Alloys" Prac. 1st Europ. Tribology Congress (1973) Inst. Mech. Engs. London, 223-227.
- Altorfer, K.J., "Zinc Alloys Compete with Bronze in Bearings and Bushings" Metal Progress-November 1982, 29-31.
- Ling, F.F., "Position Paper on Tribology" Journal of Tribology, January 1984, Vol. 106/25.
- Pinkus, C., ve Wilcock, D.F., "Strategy for Energy Conservation through Tribology" ASME, New York, 1977.
- Anderson, E.A., ve Werley, G.L., "A New Zinc Alloy for Gravity Casting" ILZRO Research Summary, Project ZM-5, July 1962.
- Presnyakov, A.A., Gorban, YU.A., ve Chernyakova, V.V., Russ. J. Phys. Chem. 35(6) (1961) 632/633.
- Murphy, S., "Solid-Phase Reactions in Low-Copper Part of the Al-Zn-Cu System", Z.Metallkd., 71(1980) 96-102.
- Goldak, G.R., ve Parr, J.G., J.Inst. Metals 92(1964) 230.
- Lohberg, K., Z.Metallkd., 74(1983) 456-457.
- Galayag, Tong., ve Ferres, Dean., "High-Performance, High-Aluminum Zinc Alloys for Low-Speed Bearings and Bushings" SAE paper 8200643.
- Zhu, Y.H., PhD. Thesis "Phase Relationships in Zn-Al Based Alloys" University of Aston in Birmingham, May 1983.
- Carpenter, G.J.C., ve Garwood, R.D., Met. Sci.J.1, (1967)202.
- Krol, J., ve Tosior, K.W., Arctiwian Hutnictwa XVI, 2(1971) 199-218.
- Koster, P., Z.F. Metallk., 8-9, (1941), p.289.
- ASME Boiler and Pressure Vessel Code, Section VIII, Division I-Pressure Vessels, 1977 Edition and Addenda (1979).
- Hutchison, M.M., ve Ball, A., "Superplasticity in the Aluminum-Zinc Eutectoid", Metal Scie. J., 3(1969) 1-6.

### ÖZGECMİŞ

1965 yılında Trabzon'da doğdu. İlk ve Ortaokulu aynı ilde tamamladıktan sonra Endüstri Meslek Lisesi Elektrik Bölümünü birincilikle bitirdi. 1982 yılında kontenjandan girdiği K.T.Ü. Mühendislik Mimarlık Fakültesi Makina Bölümünde yüksek öğrenimine başladı. Dört yıllık lisans öğrenimini başarıyla tamamlayarak 1986 yılında bu bölümde Makina Mühendisi ünvanı ile mezun oldu. Aynı yıl K.T.Ü. Fen Bilimleri Enstitüsü Makina Mühendisliği Anabilim Dalında master öğrenimine başladı. Halen yüksek lisans öğrenimine devam etmekte olup K.T.Ü. Makina Bölümünde araştırma görevlisi olarak çalışmaktadır.

T. C.  
Yükseköğretim Kurulu  
Dokümantasyon Merkezi